

Delayed Thermalization Effects in Thermonuclear Supernovae

Elvis do A. Soares

Instituto de Física, UFRJ, Rio de Janeiro



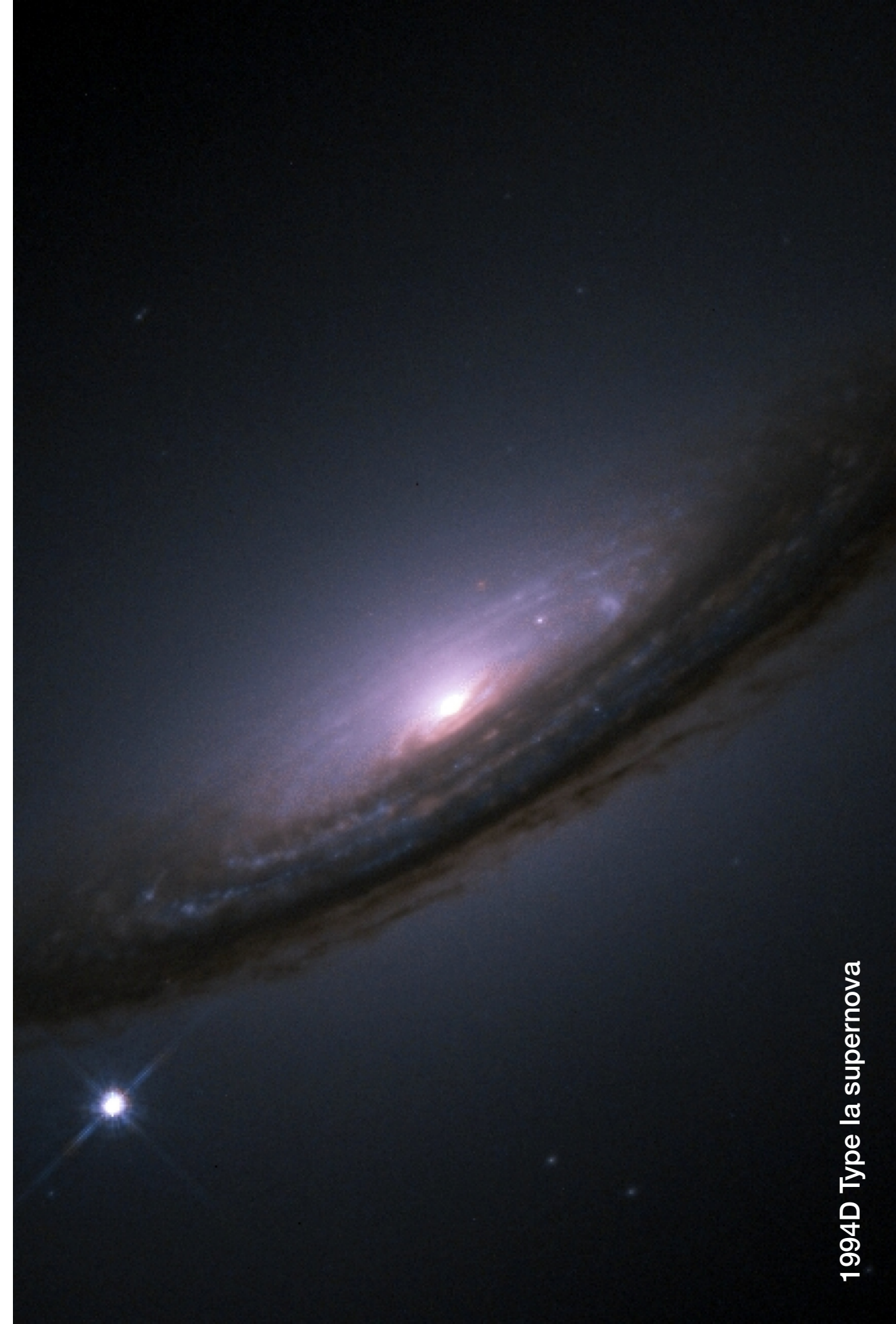
IV Oficina Carioca de Cosmologia e Gravitação
Observatório Nacional, 20 de abril de 2016



Supernovas Termonucleares

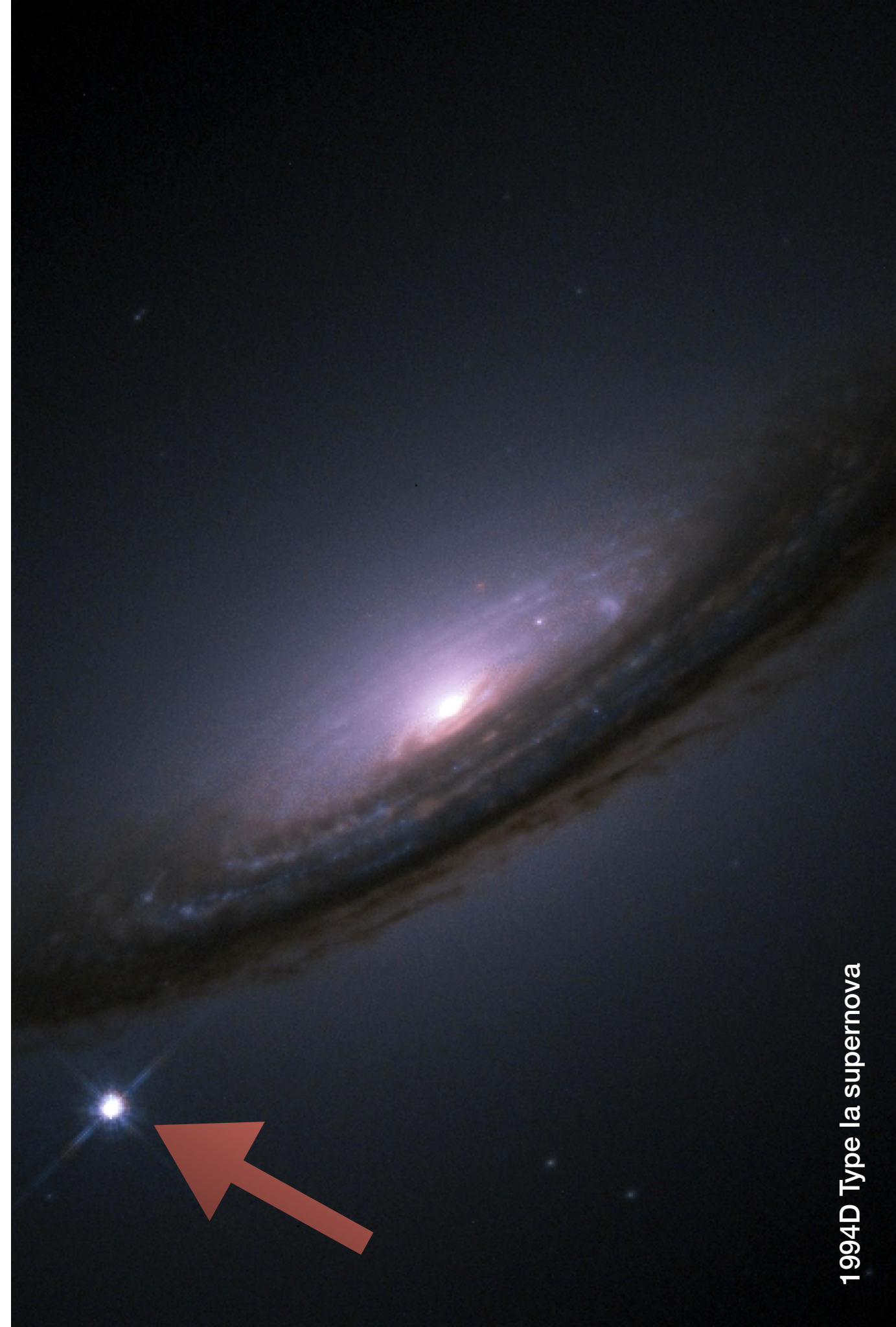
Supernovas do Tipo Ia

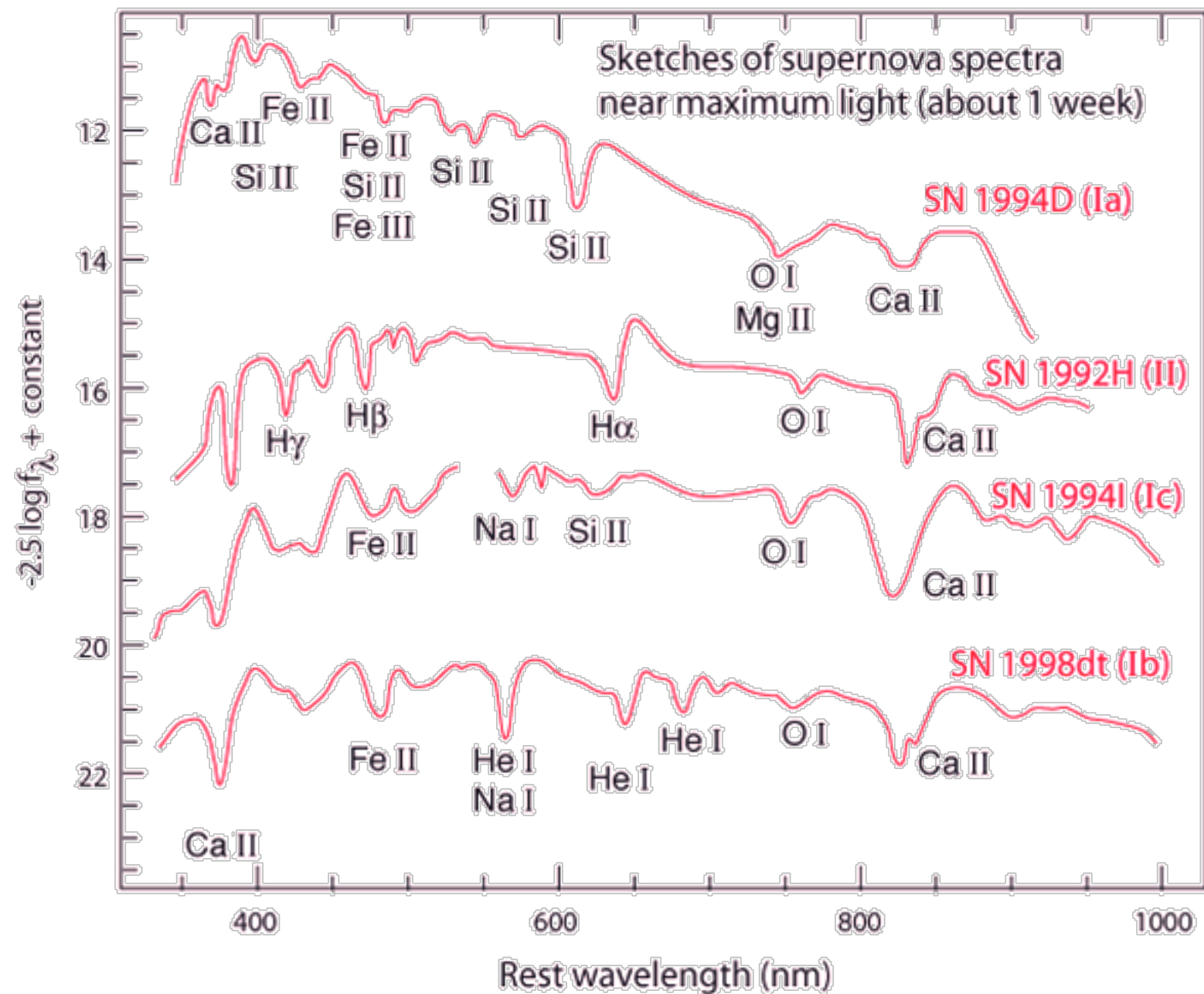
- Energia cinética do material em expansão (velocidades entre 5000 e 10 000 km/s): $\sim 10^{51} \text{ erg}$
- Energia integrada sobre a curva de luz: $\sim 10^{49} \text{ erg}$
- **Fonte de energia:** processos termonucleares do material rico em C-O em elementos mais pesados.
- A queima de $\sim 1M_{\odot}$ de C-O fornece $\sim 10^{18} \text{ erg/g}$, levando aos necessários $\sim 10^{51} \text{ erg}$



Supernovas do Tipo Ia

- Energia cinética do material em expansão (velocidades entre 5000 e 10 000 km/s): $\sim 10^{51} \text{ erg}$
- Energia integrada sobre a curva de luz: $\sim 10^{49} \text{ erg}$
- **Fonte de energia:** processos termonucleares do material rico em C-O em elementos mais pesados.
- A queima de $\sim 1M_{\odot}$ de C-O fornece $\sim 10^{18} \text{ erg/g}$, levando aos necessários $\sim 10^{51} \text{ erg}$

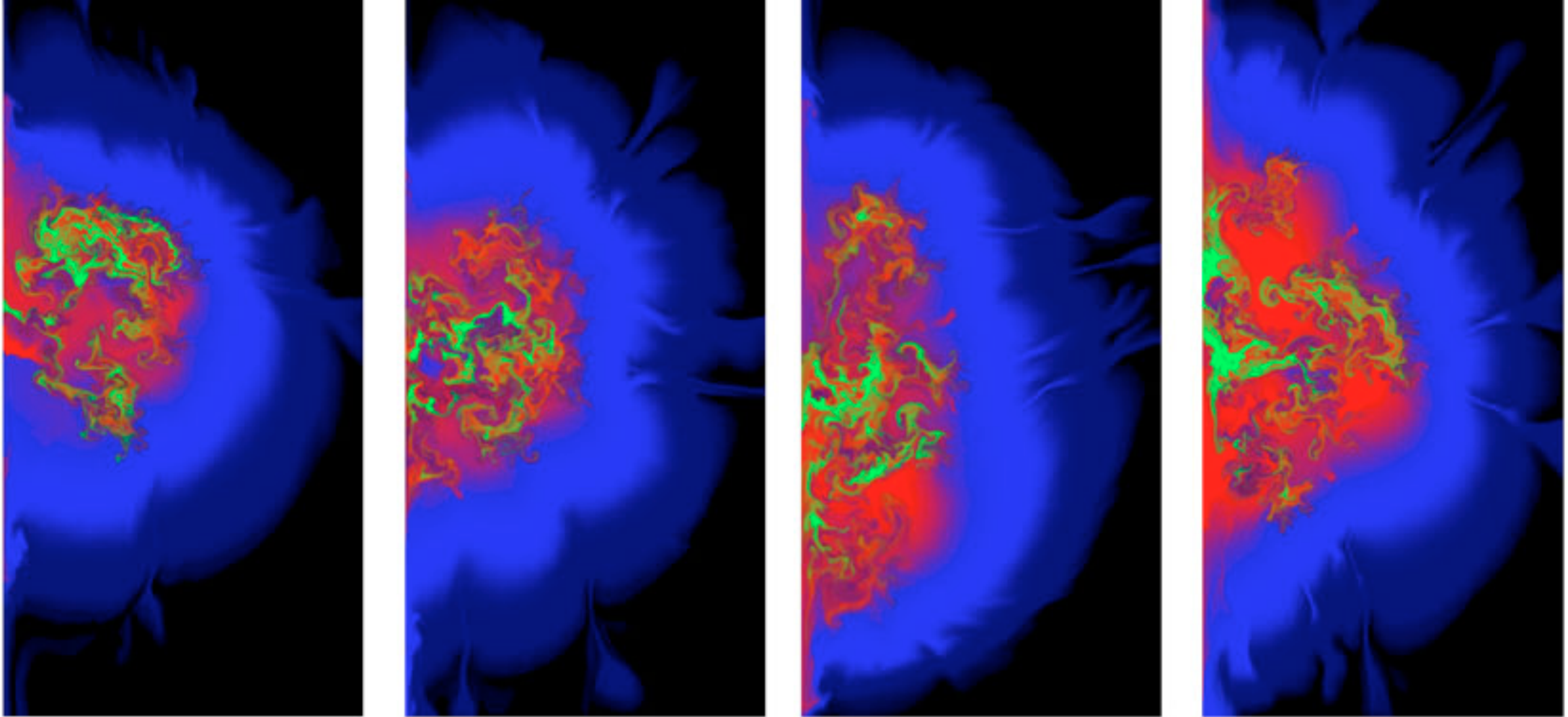




- O espectro próximo ao máximo é dominado por: **Si, Ca, Mg, S e O**;
- Após uma semana: **Fe II**

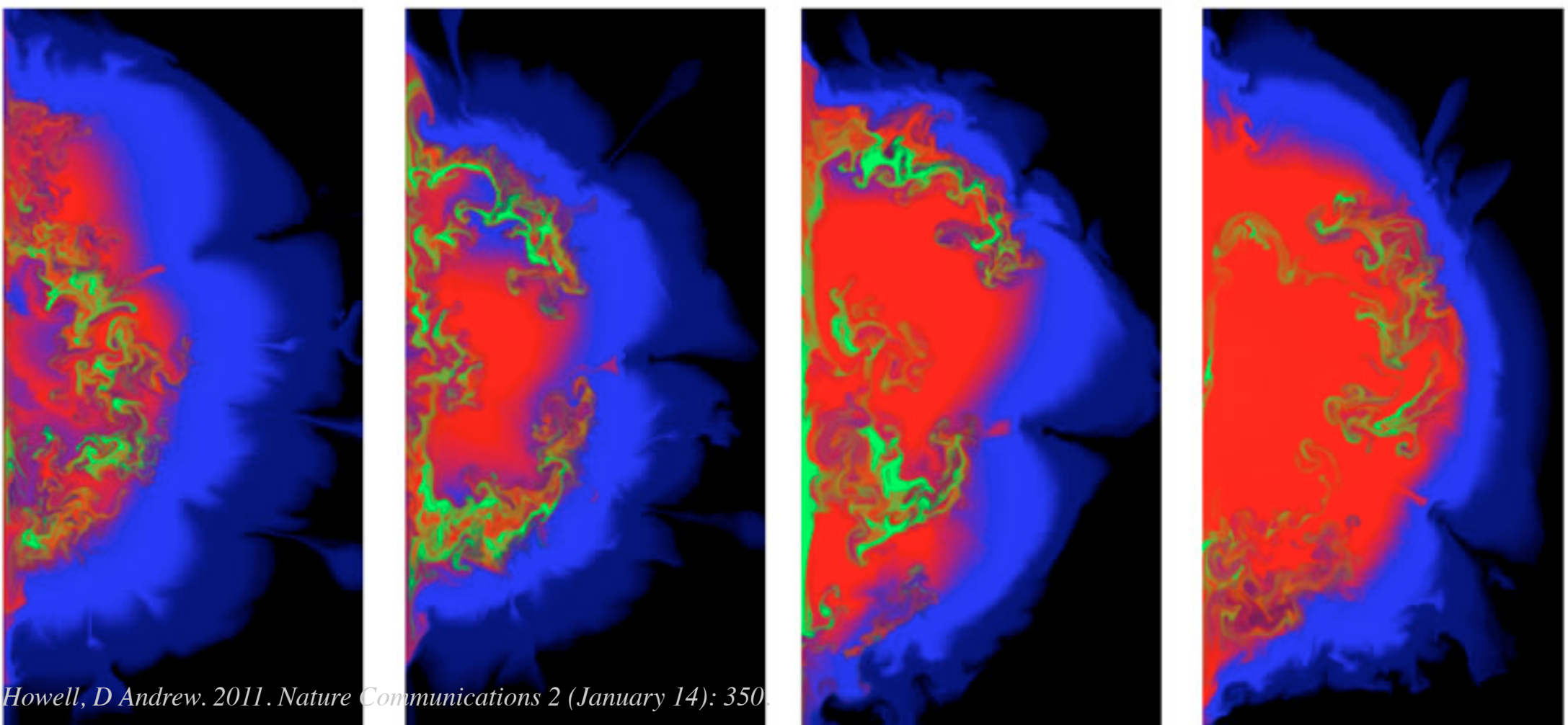
Simulações Atuais

Strong deflagration
Weak detonation



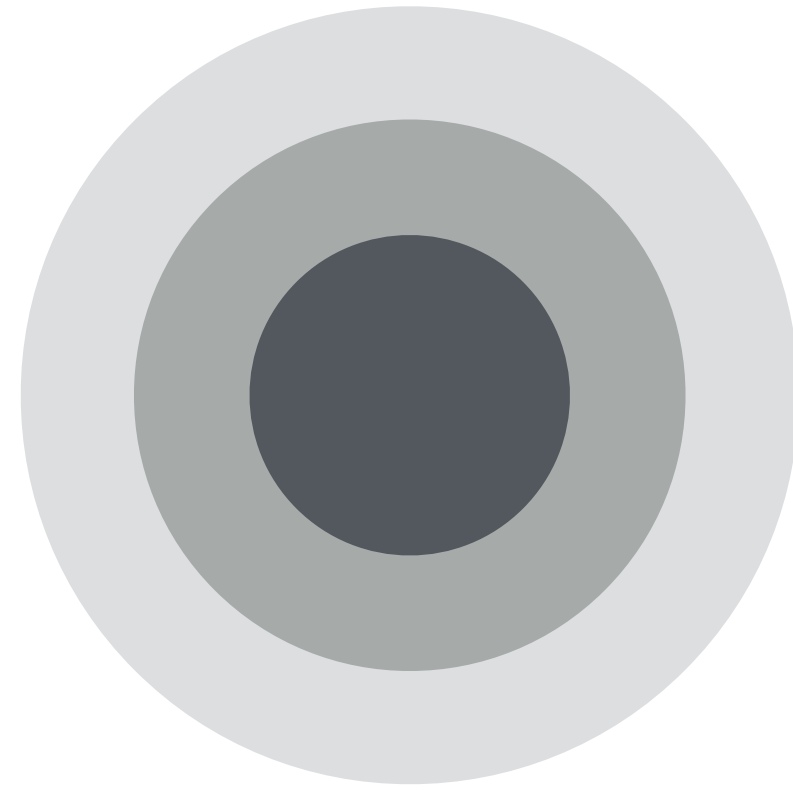
Ni
[Fe]

Weak deflagration
Strong detonation



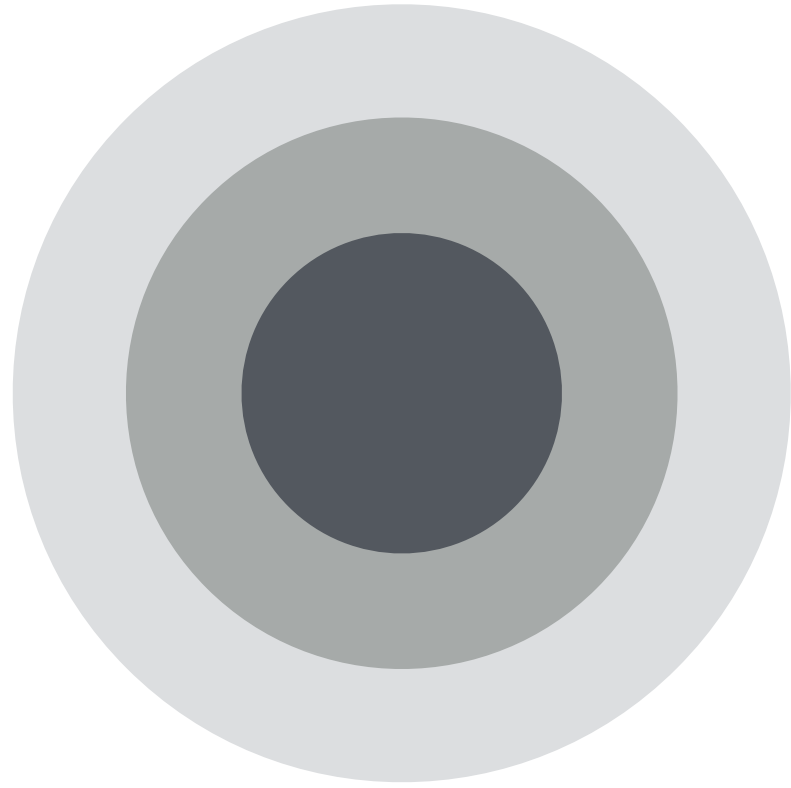
Termalização Atrasada em Supernovas

Motivação



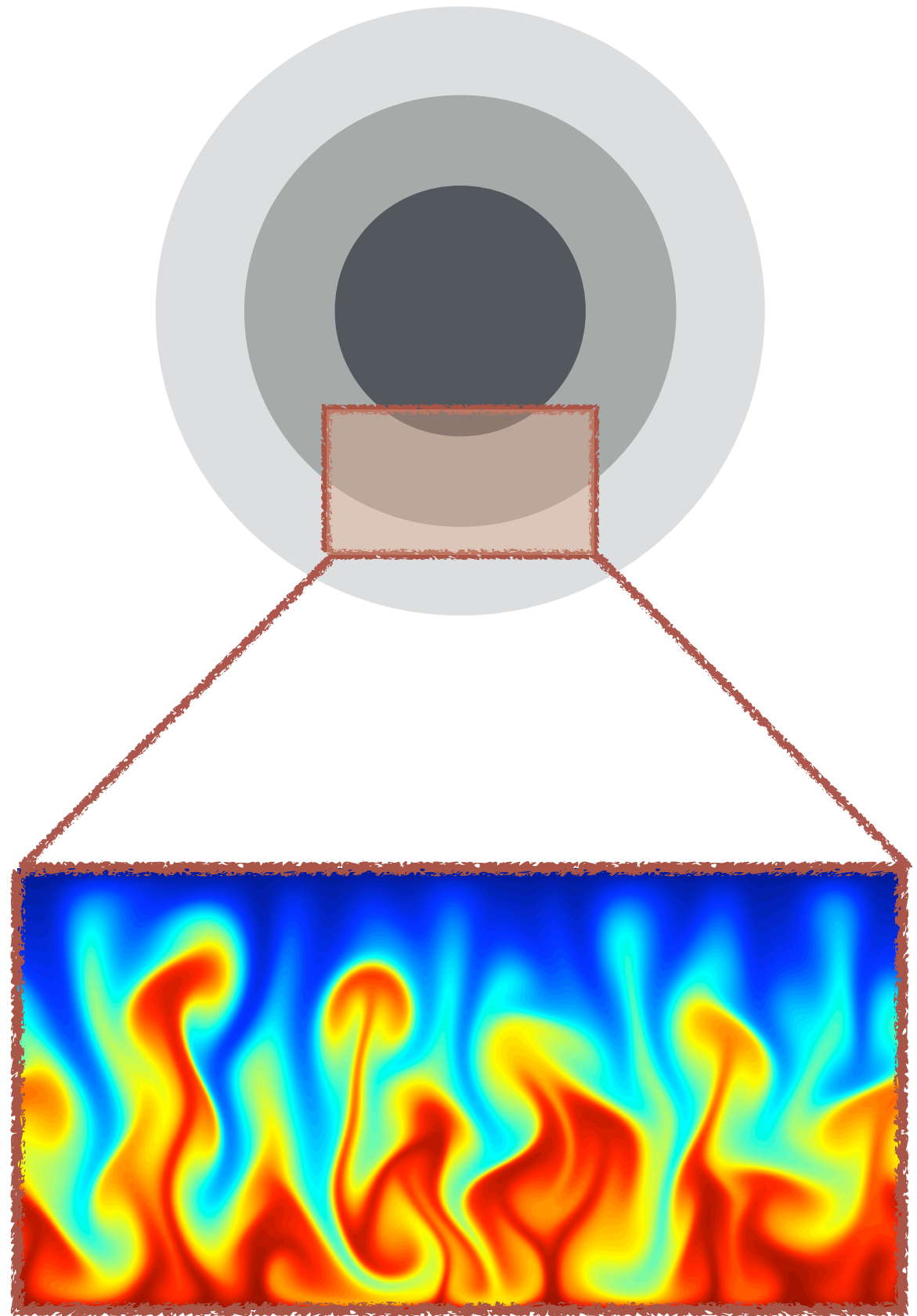
Motivação

- Mudanças violentas nas coordenadas geram movimento não-laminar (vórtices, turbulência, ...).



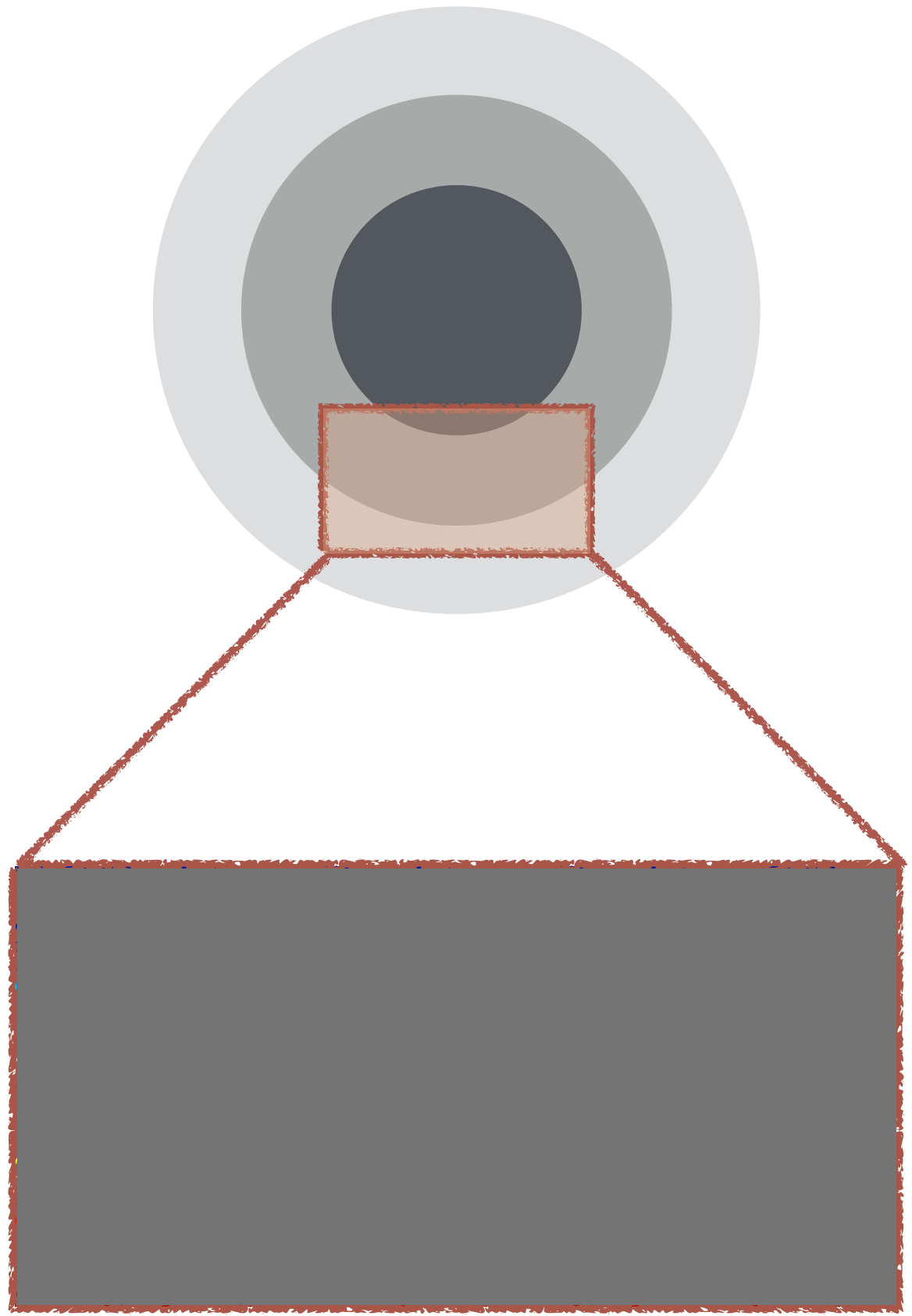
Motivação

- Mudanças violentas nas coordenadas geram movimento não-laminar (vórtices, turbulência, ...).
- Escalas menores que célula numérica.



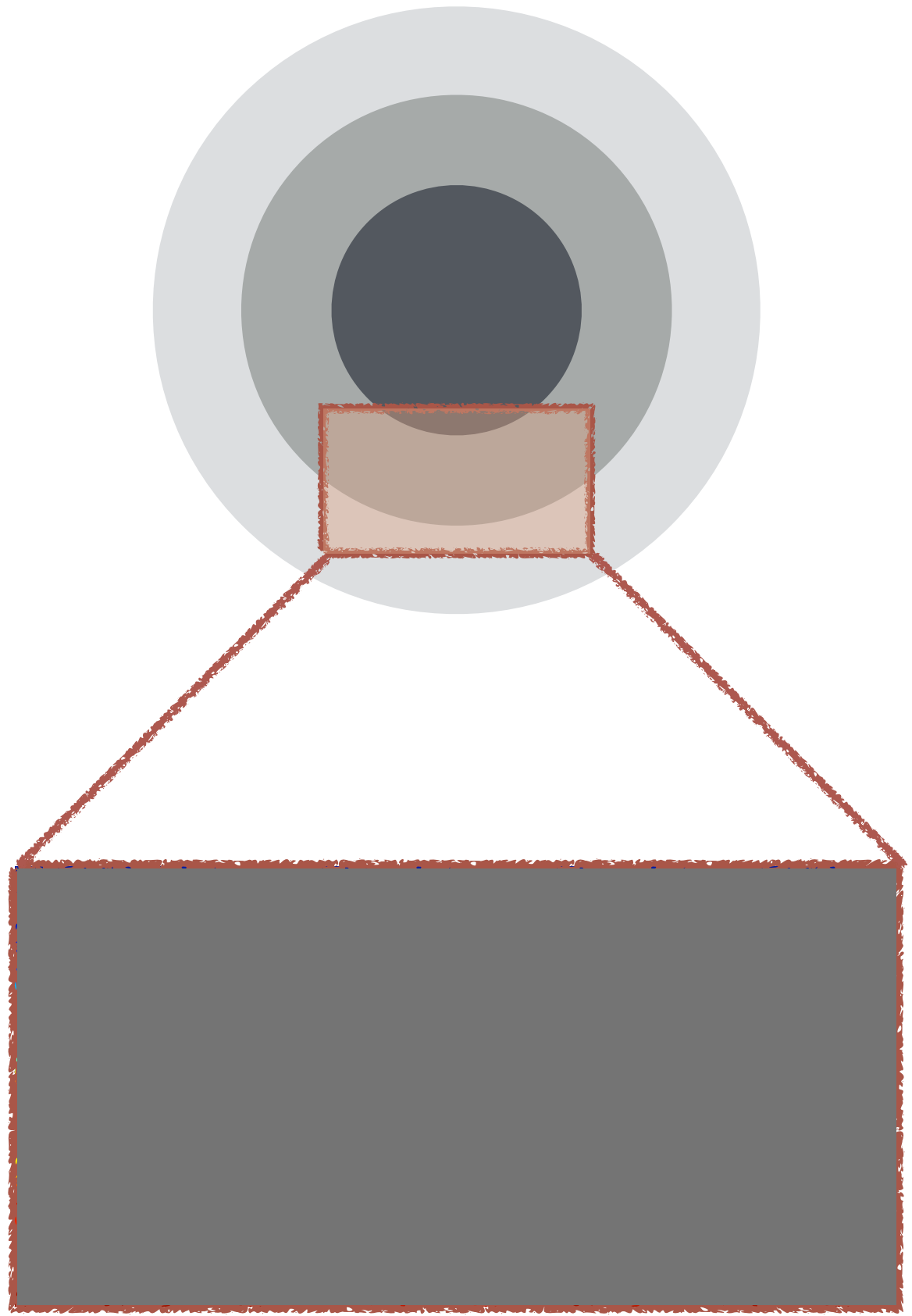
Motivação

- Mudanças violentas nas coordenadas geram movimento não-laminar (vórtices, turbulência, ...).
- Escalas menores que célula numérica.
- Invisíveis ao cálculo numérico até termalização



Motivação

- Mudanças violentas nas coordenadas geram movimento não-laminar (vórtices, turbulência, ...).
- Escalas menores que célula numérica.
- Invisíveis ao cálculo numérico até termalização
- **Atrasam** o equilíbrio térmico do elemento de fluido.



Modelo

$$\frac{dU}{dt} = -p \frac{dV}{dt} + \dot{Q},$$

Modelo

$$\frac{dU}{dt} = -p \frac{dV}{dt} + [\dot{Q}],$$

$$[\dot{Q}] = \int_{-\infty}^t dt' G(t, t') \dot{Q}(t'),$$

Modelo

$$\frac{dU}{dt} = -p \frac{dV}{dt} + [\dot{Q}],$$

Características gerais:

(1) seja normalizado, isto é

$$\int_{-\infty}^{\infty} dt' G(t, t') = 1;$$

(2) seja uma função de $t - t'$, isto é,
o processo de retardamento é
não-Markoviano;

(3) deve ser zero para $t - t'$ grande;

(4) o principal efeito pode ser
representado por um único tempo
de relaxação τ .

$$[\dot{Q}] = \int_{-\infty}^t dt' G(t, t') \dot{Q}(t'),$$

Modelo

$$\frac{dU}{dt} = -p \frac{dV}{dt} + [\dot{Q}],$$

Características gerais:

(1) seja normalizado, isto é

$$\int_{-\infty}^{\infty} dt' G(t, t') = 1;$$

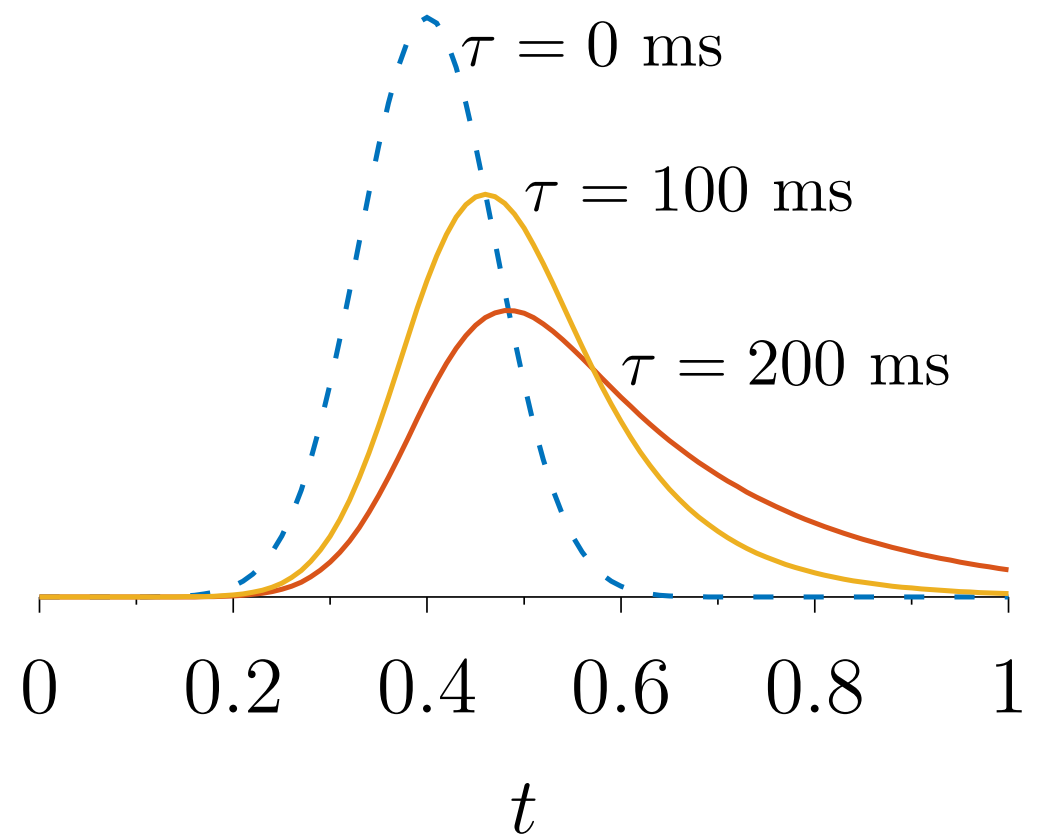
(2) seja uma função de $t - t'$, isto é,
o processo de retardamento é
não-Markoviano;

(3) deve ser zero para $t - t'$ grande;

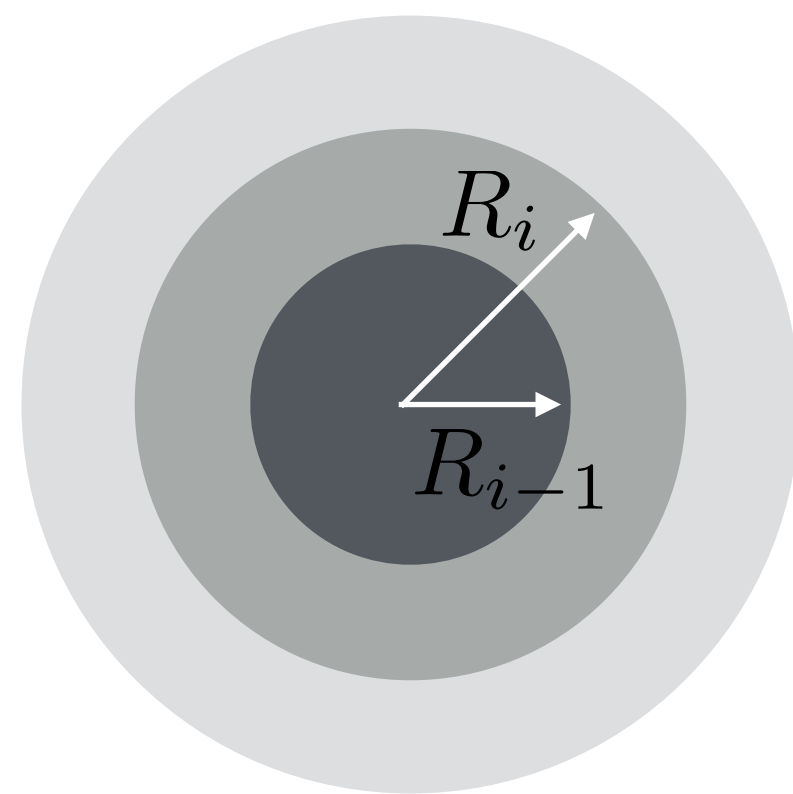
(4) o principal efeito pode ser
representado por um único tempo
de relaxação τ .

$$G(t, t') = \frac{1}{\tau} e^{-(t-t')/\tau}$$

$$[\dot{Q}] = \int_{-\infty}^t dt' G(t, t') \dot{Q}(t'),$$

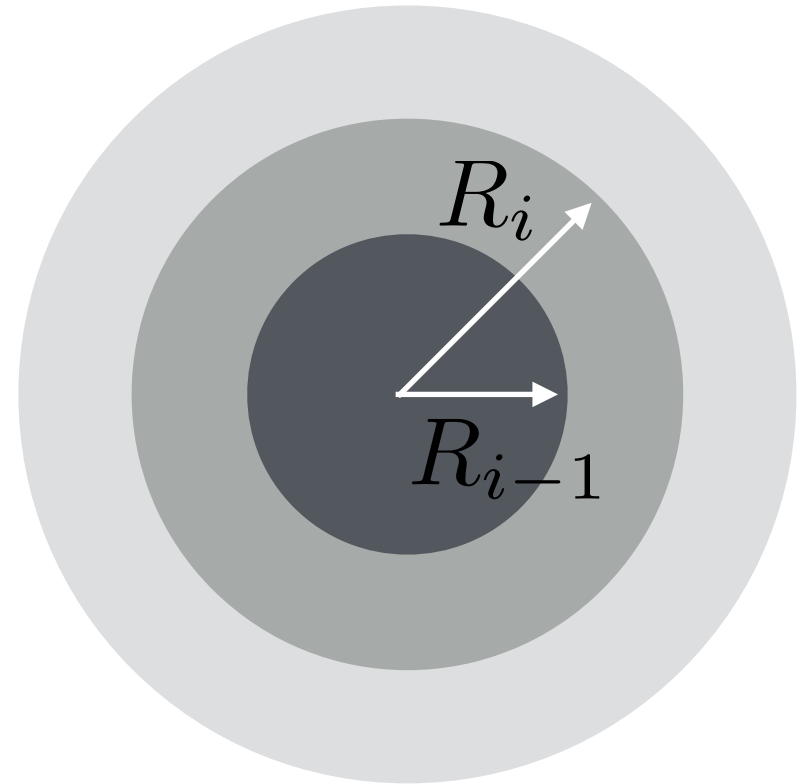


Modelagem Computacional



- Lagrangiana Efetiva:

$$\mathcal{L}(\{R_i\}, \{T_i\}, \{\mathbf{Y}_i\}) = \sum_{i=1}^N K^{(i)} - V_{\text{grav}}^{(i)} - U^{(i)}$$

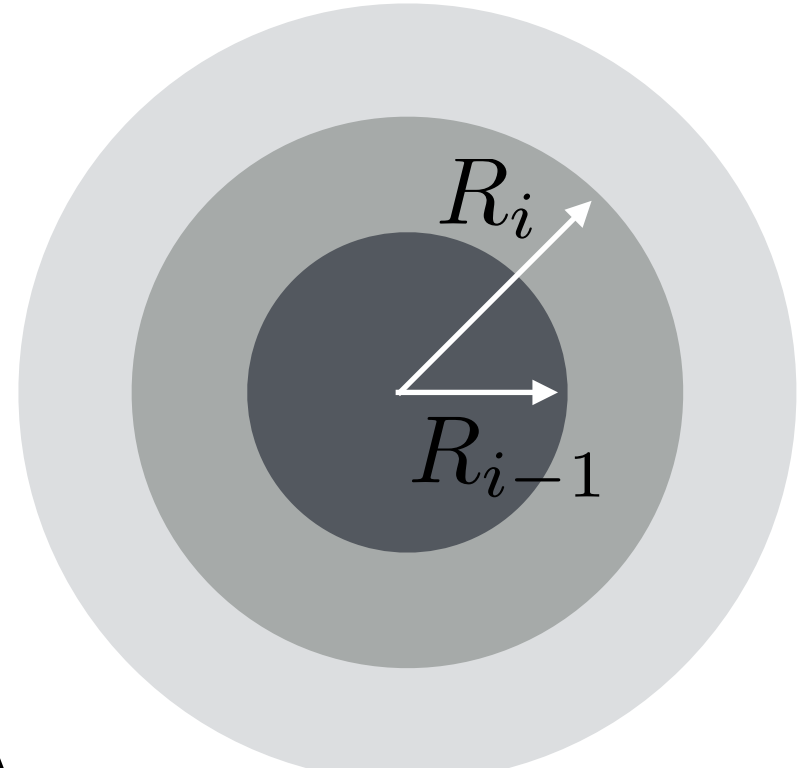


- Lagrangiana Efetiva:

$$\mathcal{L}(\{R_i\}, \{T_i\}, \{\mathbf{Y}_i\}) = \sum_{i=1}^N K^{(i)} - V_{\text{grav}}^{(i)} - U^{(i)}$$

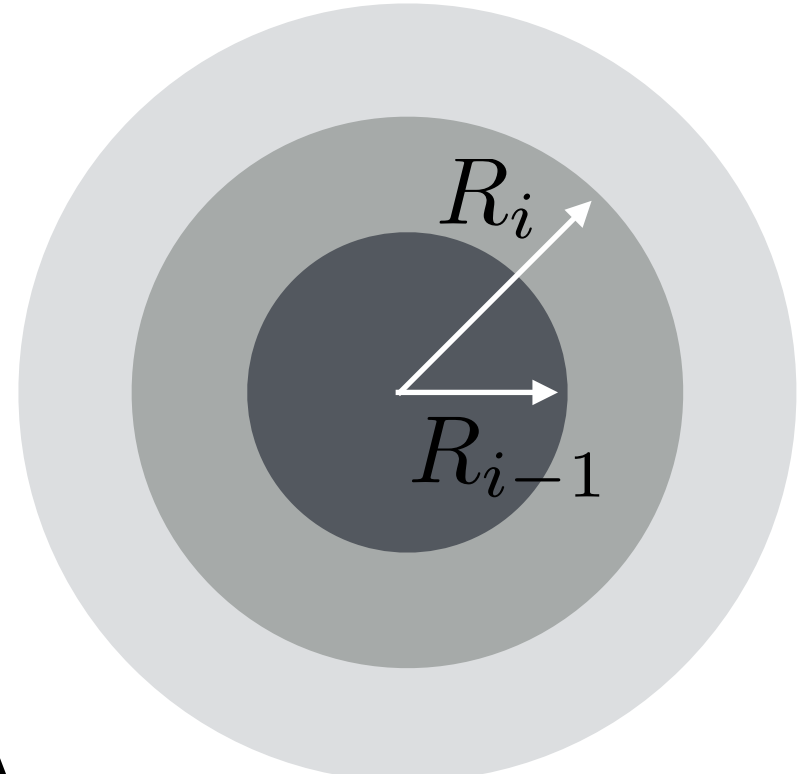
- Equações de evolução:

$$\frac{d}{dt} \left(\frac{\partial \mathcal{L}}{\partial \dot{R}_i} \right) = \frac{\partial \mathcal{L}}{\partial R_i}, \quad \frac{dU}{dt} = -p \frac{dV}{dt} + \dot{Q}, \quad \frac{d\mathbf{Y}}{dt} = \dot{\Lambda},$$



- Lagrangiana Efetiva:

$$\mathcal{L}(\{R_i\}, \{T_i\}, \{\mathbf{Y}_i\}) = \sum_{i=1}^N K^{(i)} - V_{\text{grav}}^{(i)} - U^{(i)}$$



- Equações de evolução:

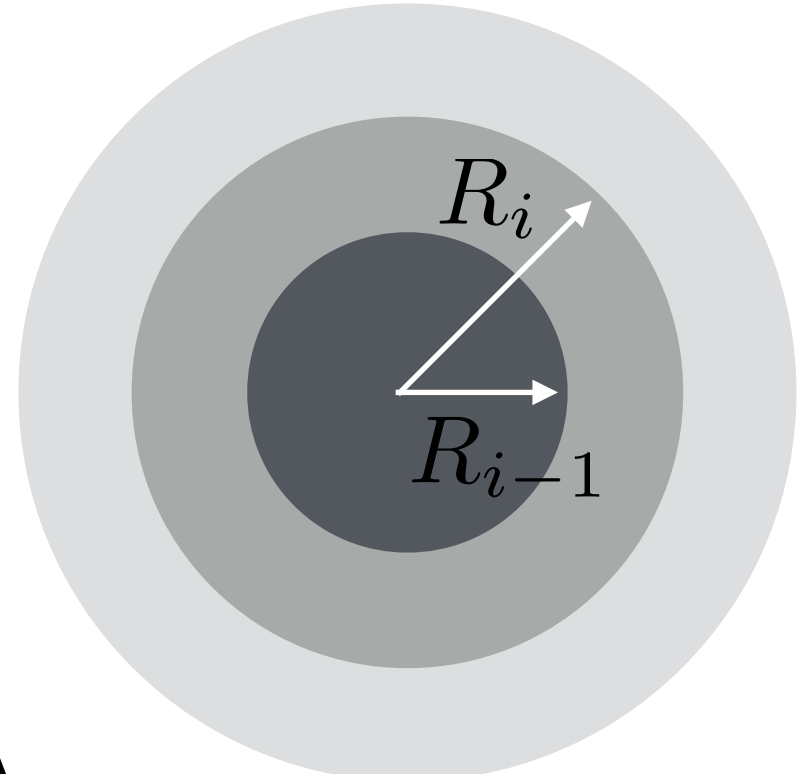
$$\frac{d}{dt} \left(\frac{\partial \mathcal{L}}{\partial \dot{R}_i} \right) = \frac{\partial \mathcal{L}}{\partial R_i}, \quad \frac{dU}{dt} = -p \frac{dV}{dt} + \dot{Q}, \quad \frac{d\mathbf{Y}}{dt} = \dot{\Lambda},$$

- Equação de estado:

$$u(\rho, T) = u_{\text{ion}} + u_{\text{rad}} + u_{\text{ele}} + u_{\text{pos}}$$

- Lagrangiana Efetiva:

$$\mathcal{L}(\{R_i\}, \{T_i\}, \{\mathbf{Y}_i\}) = \sum_{i=1}^N K^{(i)} - V_{\text{grav}}^{(i)} - U^{(i)}$$



- Equações de evolução:

$$\frac{d}{dt} \left(\frac{\partial \mathcal{L}}{\partial \dot{R}_i} \right) = \frac{\partial \mathcal{L}}{\partial R_i}, \quad \frac{dU}{dt} = -p \frac{dV}{dt} + \dot{Q}, \quad \frac{d\mathbf{Y}}{dt} = \dot{\Lambda},$$

- Equação de estado:

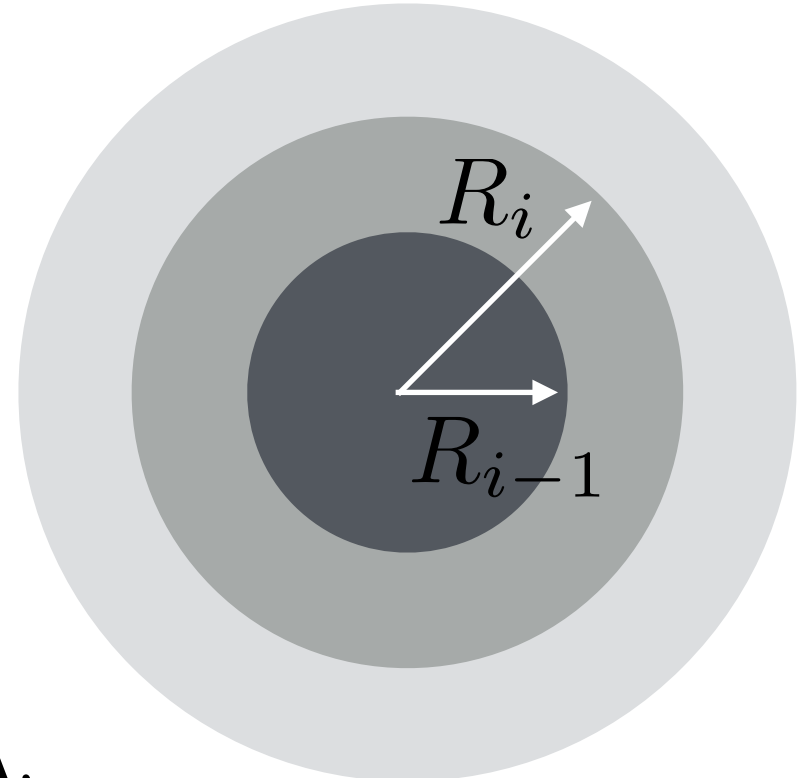
$$u(\rho, T) = u_{\text{ion}} + u_{\text{rad}} + u_{\text{ele}} + u_{\text{pos}}$$

- Opacidade:

$$\kappa = \kappa_{\text{cond}}^{-1} + \kappa_{\text{rad}}^{-1}$$

- Lagrangiana Efetiva:

$$\mathcal{L}(\{R_i\}, \{T_i\}, \{\mathbf{Y}_i\}) = \sum_{i=1}^N K^{(i)} - V_{\text{grav}}^{(i)} - U^{(i)}$$



- Equações de evolução:

$$\frac{d}{dt} \left(\frac{\partial \mathcal{L}}{\partial \dot{R}_i} \right) = \frac{\partial \mathcal{L}}{\partial R_i}, \quad \frac{dU}{dt} = -p \frac{dV}{dt} + \dot{Q}, \quad \frac{d\mathbf{Y}}{dt} = \dot{\Lambda},$$

- Equação de estado:

$$u(\rho, T) = u_{\text{ion}} + u_{\text{rad}} + u_{\text{ele}} + u_{\text{pos}}$$

- Opacidade:

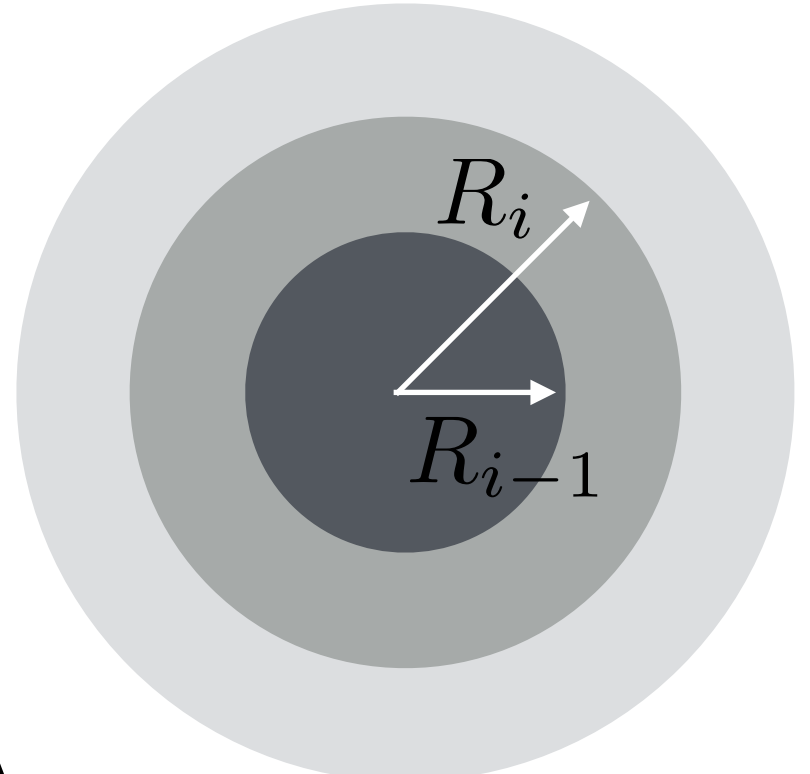
$$\kappa = \kappa_{\text{cond}}^{-1} + \kappa_{\text{rad}}^{-1}$$

- Reações Termonucleares:

$$\mathbf{Y}^T = (^4\text{He}, ^{12}\text{C}, ^{16}\text{O}, ^{20}\text{Ne}, ^{24}\text{Mg}, [^{28}\text{Si}], [^{56}\text{Ni}])$$

- Lagrangiana Efetiva:

$$\mathcal{L}(\{R_i\}, \{T_i\}, \{\mathbf{Y}_i\}) = \sum_{i=1}^N K^{(i)} - V_{\text{grav}}^{(i)} - U^{(i)}$$



- Equações de evolução:

$$\frac{d}{dt} \left(\frac{\partial \mathcal{L}}{\partial \dot{R}_i} \right) = \frac{\partial \mathcal{L}}{\partial R_i}, \quad \frac{dU}{dt} = -p \frac{dV}{dt} + \dot{Q}, \quad \frac{d\mathbf{Y}}{dt} = \dot{\Lambda},$$

- Equação de estado:

$$u(\rho, T) = u_{\text{ion}} + u_{\text{rad}} + u_{\text{ele}} + u_{\text{pos}}$$

- Opacidade:

$$\kappa = \kappa_{\text{cond}}^{-1} + \kappa_{\text{rad}}^{-1}$$

- Reações Termonucleares:

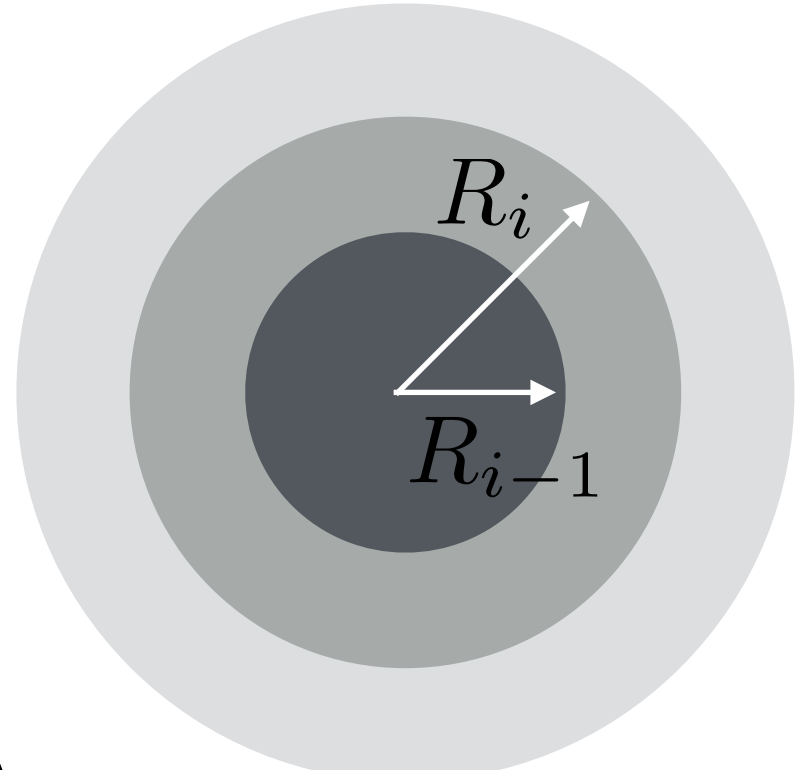
$$\mathbf{Y}^T = (^4\text{He}, ^{12}\text{C}, ^{16}\text{O}, ^{20}\text{Ne}, ^{24}\text{Mg}, [^{28}\text{Si}], [^{56}\text{Ni}])$$

Controle da Energia

$$\frac{dE}{dt} = \sum_i \dot{Q}_i.$$

- Lagrangiana Efetiva:

$$\mathcal{L}(\{R_i\}, \{T_i\}, \{\mathbf{Y}_i\}) = \sum_{i=1}^N K^{(i)} - V_{\text{grav}}^{(i)} - U^{(i)}$$



- Equações de evolução:

$$\frac{d}{dt} \left(\frac{\partial \mathcal{L}}{\partial \dot{R}_i} \right) = \frac{\partial \mathcal{L}}{\partial R_i}, \quad \frac{dU}{dt} = -p \frac{dV}{dt} + \dot{Q}, \quad \frac{d\mathbf{Y}}{dt} = \dot{\Lambda},$$

$$\boxed{\frac{d[\dot{Q}]}{dt} = \frac{1}{\tau} (\dot{Q} - [Q])}$$

- Equação de estado:

$$u(\rho, T) = u_{\text{ion}} + u_{\text{rad}} + u_{\text{ele}} + u_{\text{pos}}$$

- Opacidade:

$$\kappa = \kappa_{\text{cond}}^{-1} + \kappa_{\text{rad}}^{-1}$$

- Reações Termonucleares:

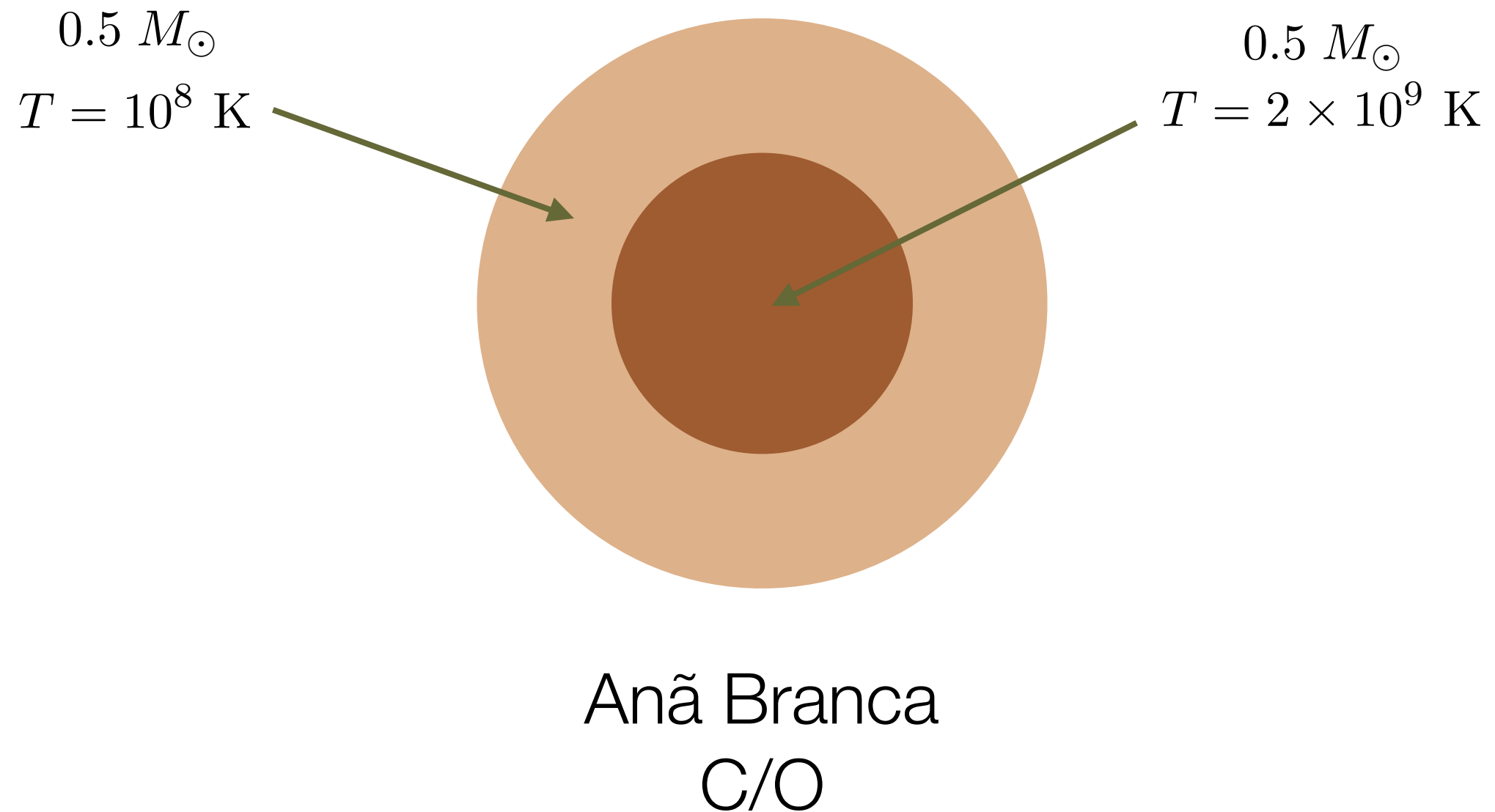
$$\mathbf{Y}^T = (^4\text{He}, ^{12}\text{C}, ^{16}\text{O}, ^{20}\text{Ne}, ^{24}\text{Mg}, [^{28}\text{Si}], [^{56}\text{Ni}])$$

Controle da Energia

$$\frac{dE}{dt} = \sum_i \dot{Q}_i.$$

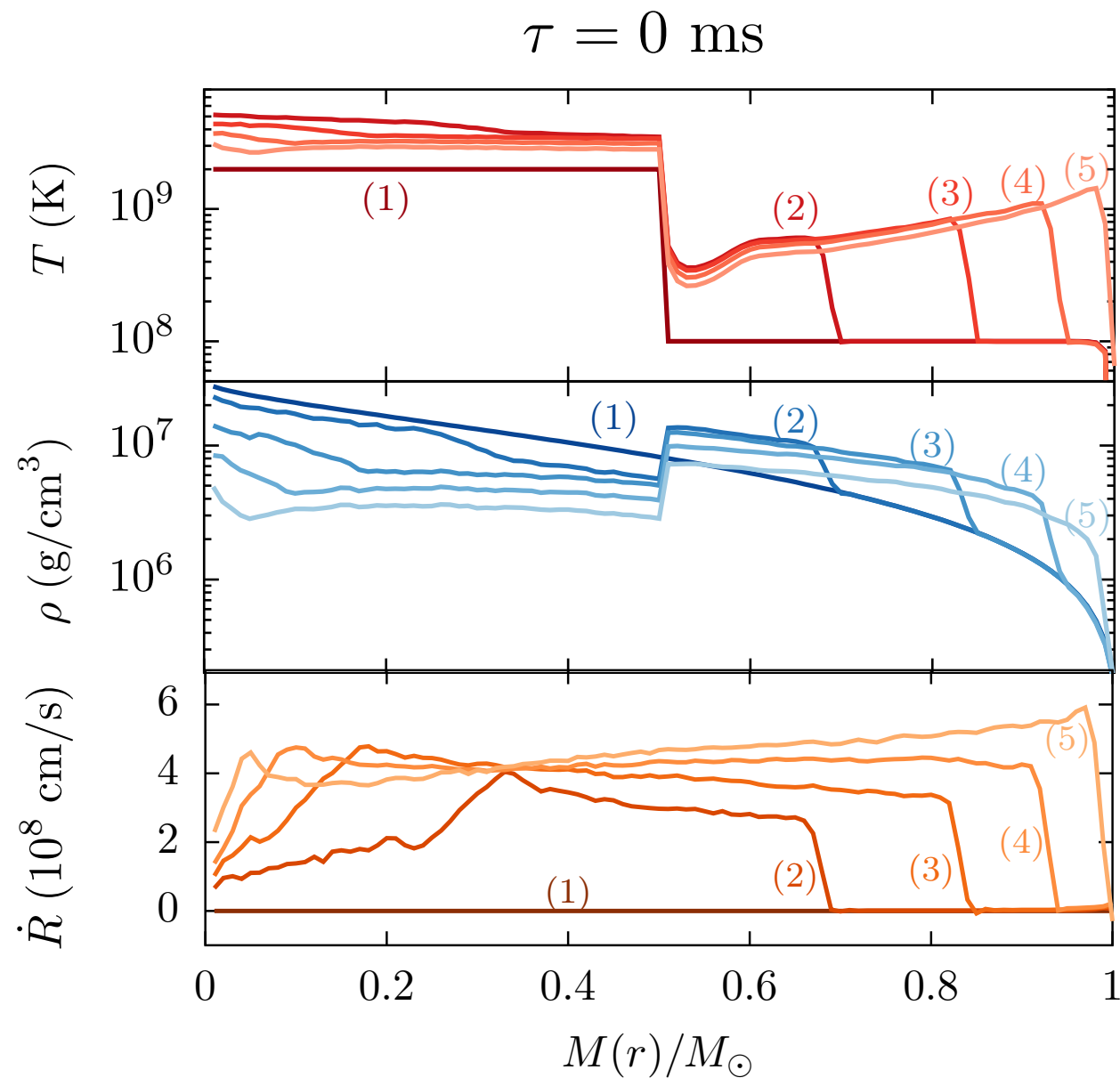
Resultados Preliminares

Condição Inicial (IC1)



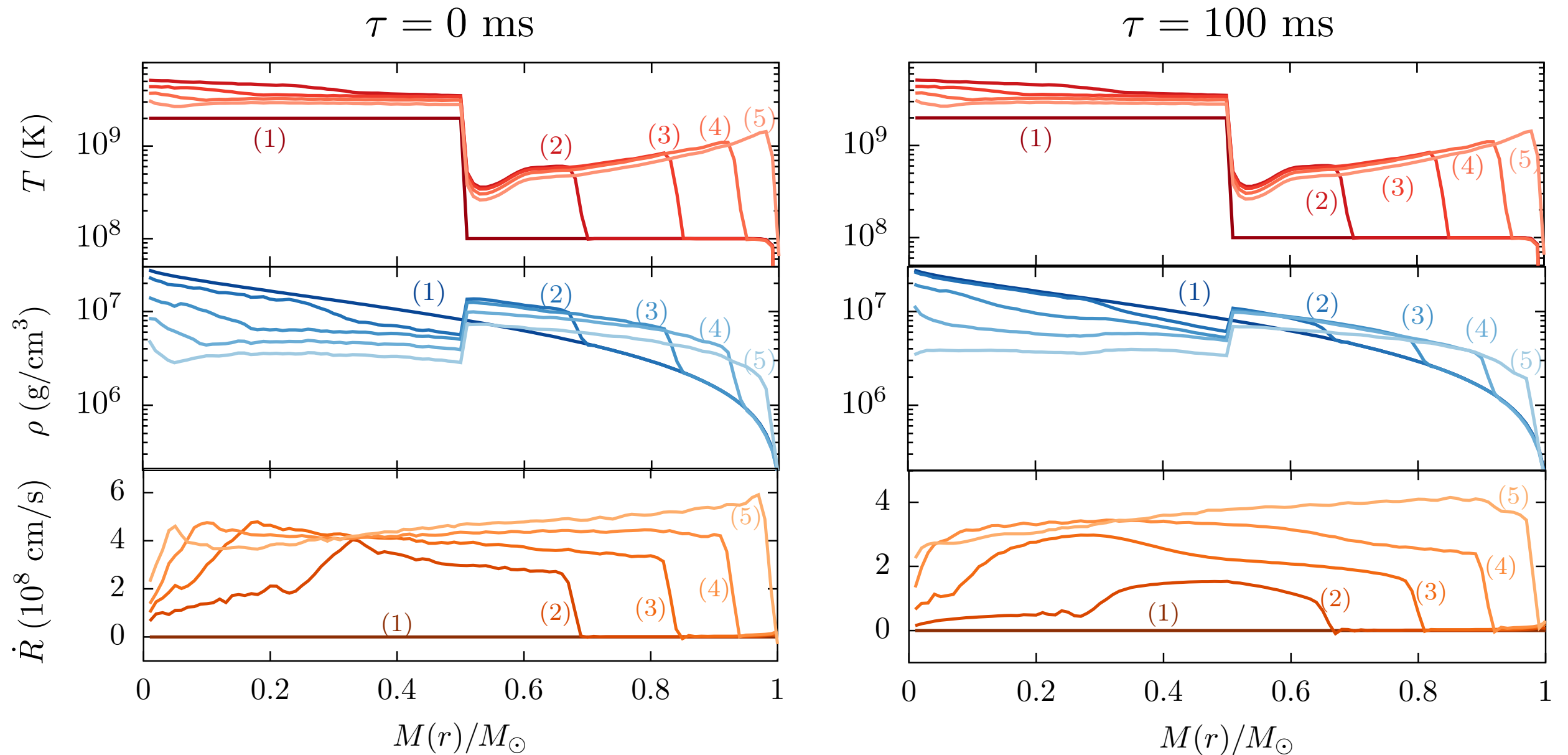
Perfis de temperatura e densidade (IC1)

Perfis de temperatura e densidade (IC1)



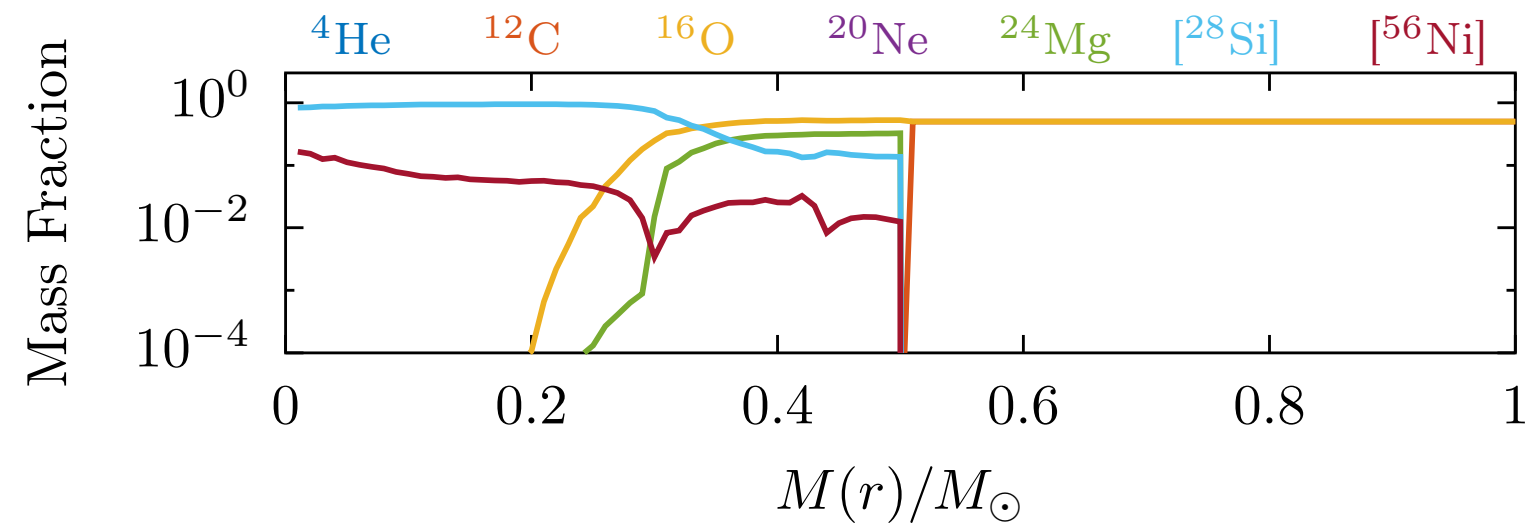
(1) $t = 0$, (2) $t = 111 \text{ ms}$, (3) $t = 221 \text{ ms}$, (4) $t = 329 \text{ ms}$, (5) $t = 440 \text{ ms}$.

Perfis de temperatura e densidade (IC1)



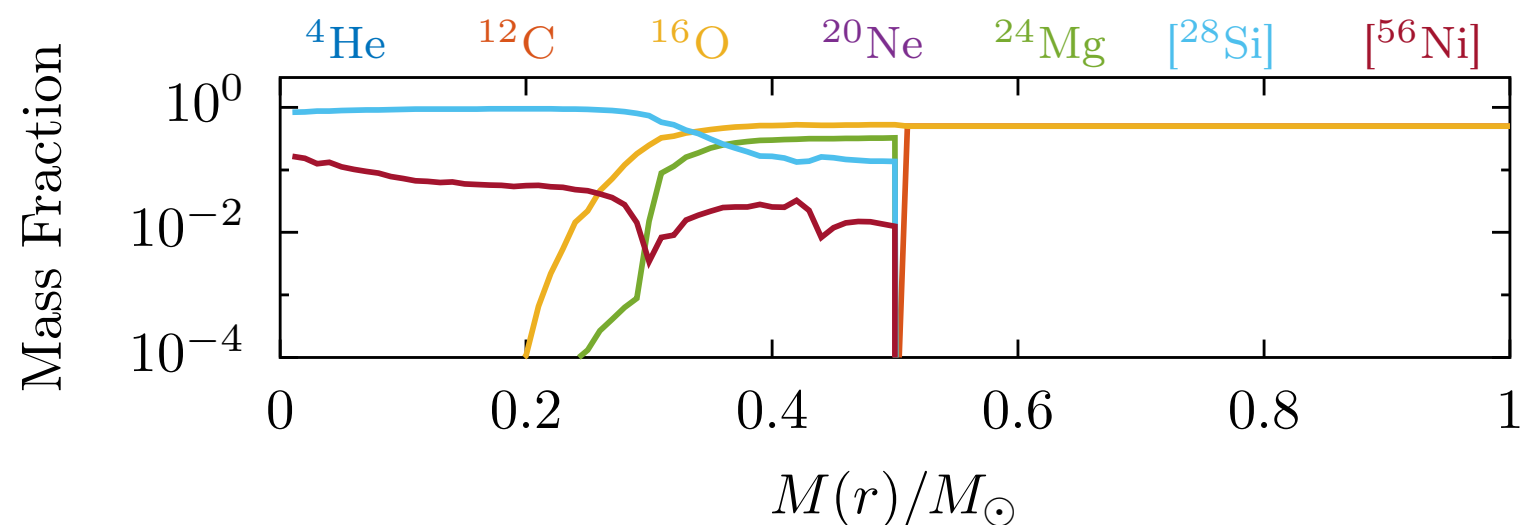
(1) $t = 0$, (2) $t = 111 \text{ ms}$, (3) $t = 221 \text{ ms}$, (4) $t = 329 \text{ ms}$, (5) $t = 440 \text{ ms}$.

Abundância e Energia Liberada (IC1)



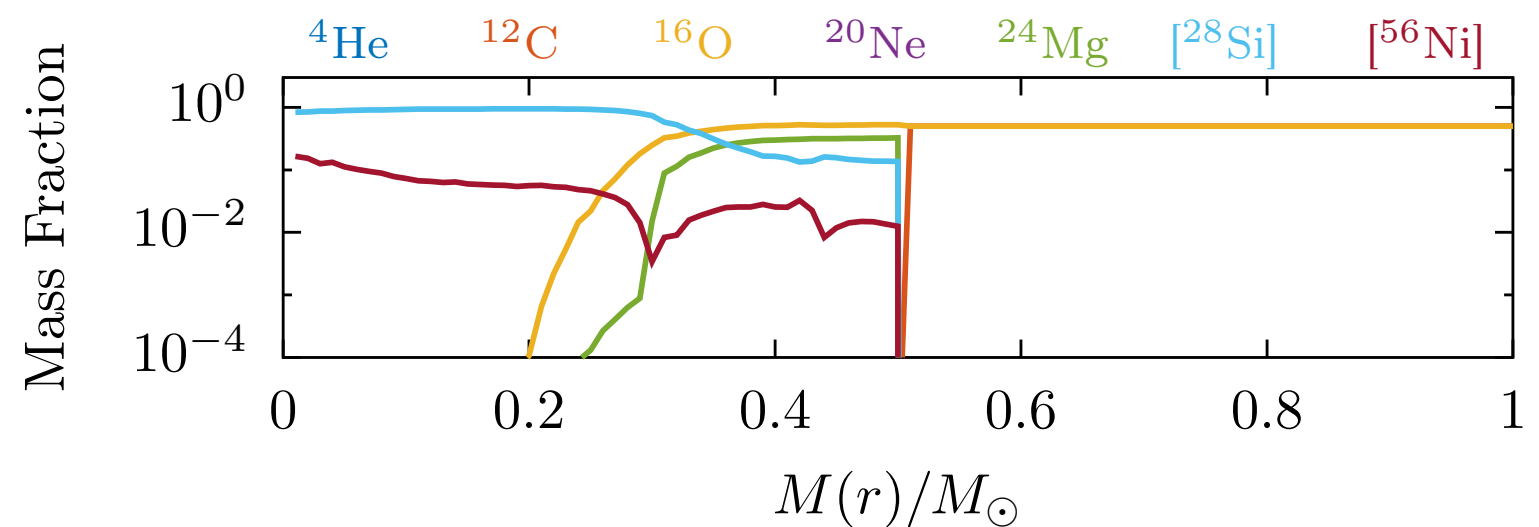
Abundância e Energia Liberada (IC1)

| τ (ms) | ${}^4\text{He}$ (M_\odot) | ${}^{12}\text{C}$ (M_\odot) | ${}^{16}\text{O}$ (M_\odot) | ${}^{20}\text{Ne}$ (M_\odot) | ${}^{24}\text{Mg}$ (M_\odot) | $[{}^{28}\text{Si}]$ (M_\odot) | $[{}^{56}\text{Ni}]$ (M_\odot) |
|-------------|-------------------------------|---------------------------------|---------------------------------|----------------------------------|----------------------------------|------------------------------------|------------------------------------|
| 0 | 0.001 | 0.250 | 0.250 | 10^{-5} | 10^{-5} | 0.233 | 0.266 |
| 5 | 10^{-4} | 0.250 | 0.253 | 10^{-6} | 10^{-5} | 0.286 | 0.211 |
| 10 | 10^{-5} | 0.250 | 0.254 | 10^{-6} | 10^{-5} | 0.307 | 0.189 |
| 25 | 10^{-10} | 0.250 | 0.266 | 10^{-6} | 10^{-4} | 0.337 | 0.147 |
| 50 | 10^{-10} | 0.250 | 0.300 | 10^{-6} | 0.015 | 0.359 | 0.076 |
| 100 | 10^{-11} | 0.250 | 0.353 | 10^{-6} | 0.054 | 0.318 | 0.025 |
| 200 | 10^{-12} | 0.250 | 0.424 | 10^{-6} | 0.099 | 0.219 | 0.008 |
| 400 | 10^{-20} | 0.250 | 0.503 | 10^{-6} | 0.150 | 0.095 | 0.002 |



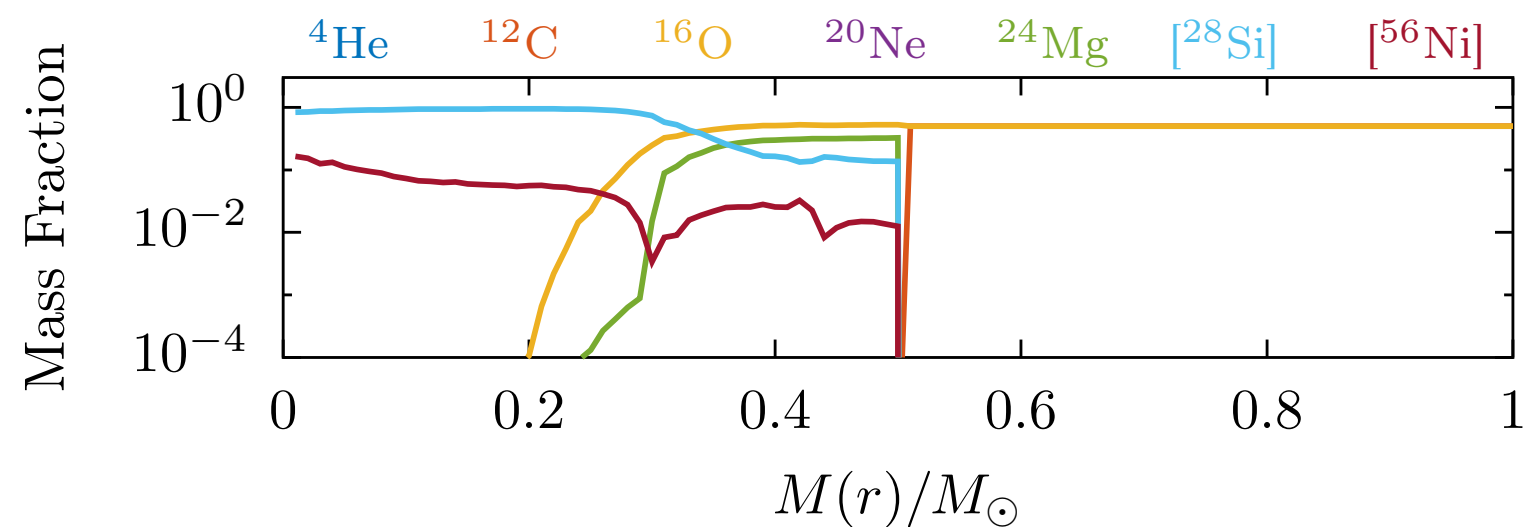
Abundância e Energia Liberada (IC1)

| τ (ms) | ${}^4\text{He}$ (M_\odot) | ${}^{12}\text{C}$ (M_\odot) | ${}^{16}\text{O}$ (M_\odot) | ${}^{20}\text{Ne}$ (M_\odot) | ${}^{24}\text{Mg}$ (M_\odot) | $[{}^{28}\text{Si}]$ (M_\odot) | $[{}^{56}\text{Ni}]$ (M_\odot) |
|-------------|-------------------------------|---------------------------------|---------------------------------|----------------------------------|----------------------------------|------------------------------------|------------------------------------|
| 0 | 0.001 | 0.250 | 0.250 | 10^{-5} | 10^{-5} | 0.233 | 0.266 |
| 5 | 10^{-4} | 0.250 | 0.253 | 10^{-6} | 10^{-5} | 0.286 | 0.211 |
| 10 | 10^{-5} | 0.250 | 0.254 | 10^{-6} | 10^{-5} | 0.307 | 0.189 |
| 25 | 10^{-10} | 0.250 | 0.266 | 10^{-6} | 10^{-4} | 0.337 | 0.147 |
| 50 | 10^{-10} | 0.250 | 0.300 | 10^{-6} | 0.015 | 0.359 | 0.076 |
| 100 | 10^{-11} | 0.250 | 0.353 | 10^{-6} | 0.054 | 0.318 | 0.025 |
| 200 | 10^{-12} | 0.250 | 0.424 | 10^{-6} | 0.099 | 0.219 | 0.008 |
| 400 | 10^{-20} | 0.250 | 0.503 | 10^{-6} | 0.150 | 0.095 | 0.002 |



Abundância e Energia Liberada (IC1)

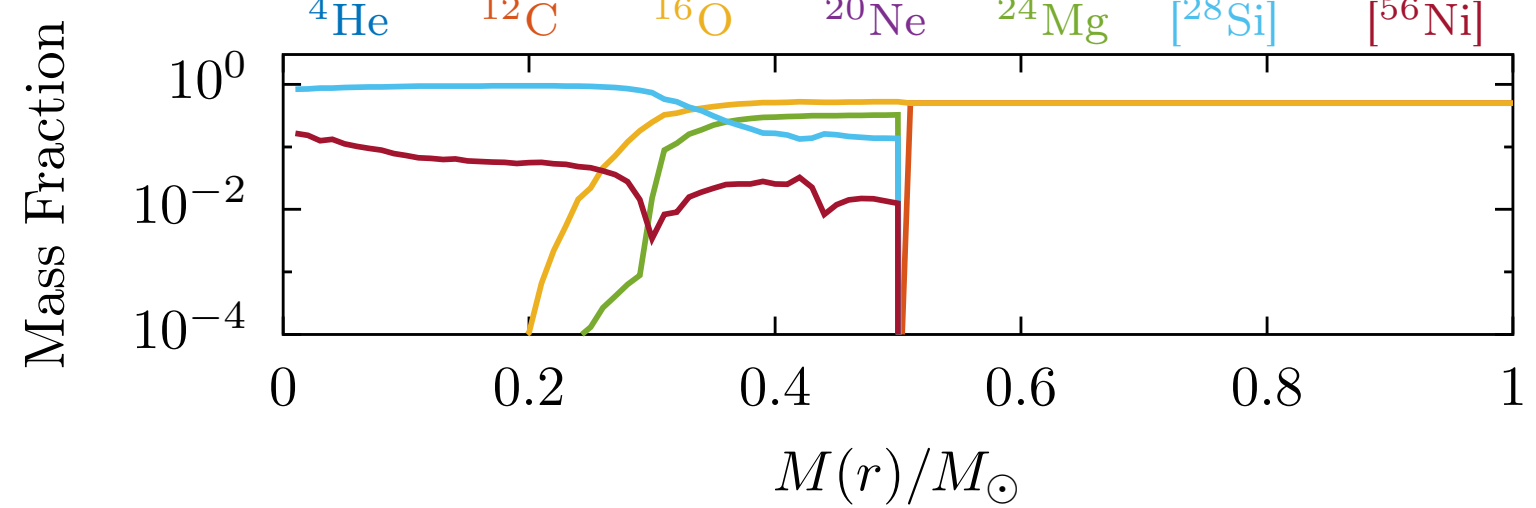
| τ (ms) | ${}^4\text{He}$ (M_\odot) | ${}^{12}\text{C}$ (M_\odot) | ${}^{16}\text{O}$ (M_\odot) | ${}^{20}\text{Ne}$ (M_\odot) | ${}^{24}\text{Mg}$ (M_\odot) | $[{}^{28}\text{Si}]$ (M_\odot) | $[{}^{56}\text{Ni}]$ (M_\odot) |
|-------------|-------------------------------|---------------------------------|---------------------------------|----------------------------------|----------------------------------|------------------------------------|------------------------------------|
| 0 | 0.001 | 0.250 | 0.250 | 10^{-5} | 10^{-5} | 0.233 | 0.266 |
| 5 | 10^{-4} | 0.250 | 0.253 | 10^{-6} | 10^{-5} | 0.286 | 0.211 |
| 10 | 10^{-5} | 0.250 | 0.254 | 10^{-6} | 10^{-5} | 0.307 | 0.189 |
| 25 | 10^{-10} | 0.250 | 0.266 | 10^{-6} | 10^{-4} | 0.337 | 0.147 |
| 50 | 10^{-10} | 0.250 | 0.300 | 10^{-6} | 0.015 | 0.359 | 0.076 |
| 100 | 10^{-11} | 0.250 | 0.353 | 10^{-6} | 0.054 | 0.318 | 0.025 |
| 200 | 10^{-12} | 0.250 | 0.424 | 10^{-6} | 0.099 | 0.219 | 0.008 |
| 400 | 10^{-20} | 0.250 | 0.503 | 10^{-6} | 0.150 | 0.095 | 0.002 |



Abundância e Energia Liberada (IC1)

| τ (ms) | ${}^4\text{He}$ (M_\odot) | ${}^{12}\text{C}$ (M_\odot) | ${}^{16}\text{O}$ (M_\odot) | ${}^{20}\text{Ne}$ (M_\odot) | ${}^{24}\text{Mg}$ (M_\odot) | $[{}^{28}\text{Si}]$ (M_\odot) | $[{}^{56}\text{Ni}]$ (M_\odot) |
|-------------|-------------------------------|---------------------------------|---------------------------------|----------------------------------|----------------------------------|------------------------------------|------------------------------------|
| 0 | 0.001 | 0.250 | 0.250 | 10^{-5} | 10^{-5} | 0.233 | 0.266 |
| 5 | 10^{-4} | 0.250 | 0.253 | 10^{-6} | 10^{-5} | 0.286 | 0.211 |
| 10 | 10^{-5} | 0.250 | 0.254 | 10^{-6} | 10^{-5} | 0.307 | 0.189 |
| 25 | 10^{-10} | 0.250 | 0.266 | 10^{-6} | 10^{-4} | 0.337 | 0.147 |
| 50 | 10^{-10} | 0.250 | 0.300 | 10^{-6} | 0.015 | 0.359 | 0.076 |
| 100 | 10^{-11} | 0.250 | 0.353 | 10^{-6} | 0.054 | 0.318 | 0.025 |
| 200 | 10^{-12} | 0.250 | 0.424 | 10^{-6} | 0.099 | 0.219 | 0.008 |
| 400 | 10^{-20} | 0.250 | 0.503 | 10^{-6} | 0.150 | 0.095 | 0.002 |

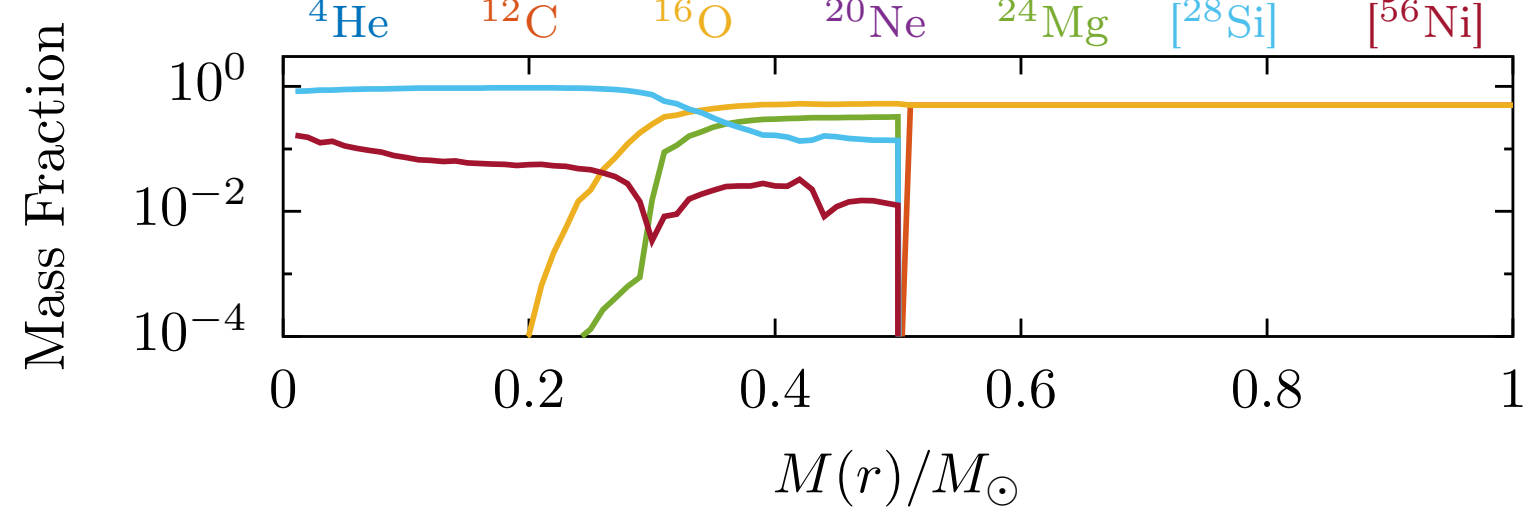
| τ (ms) | Q_n (10^{51} erg) |
|-------------|------------------------|
| 0 | 0.684 |
| 5 | 0.665 |
| 10 | 0.657 |
| 25 | 0.631 |
| 50 | 0.571 |
| 100 | 0.491 |
| 200 | 0.405 |
| 400 | 0.312 |



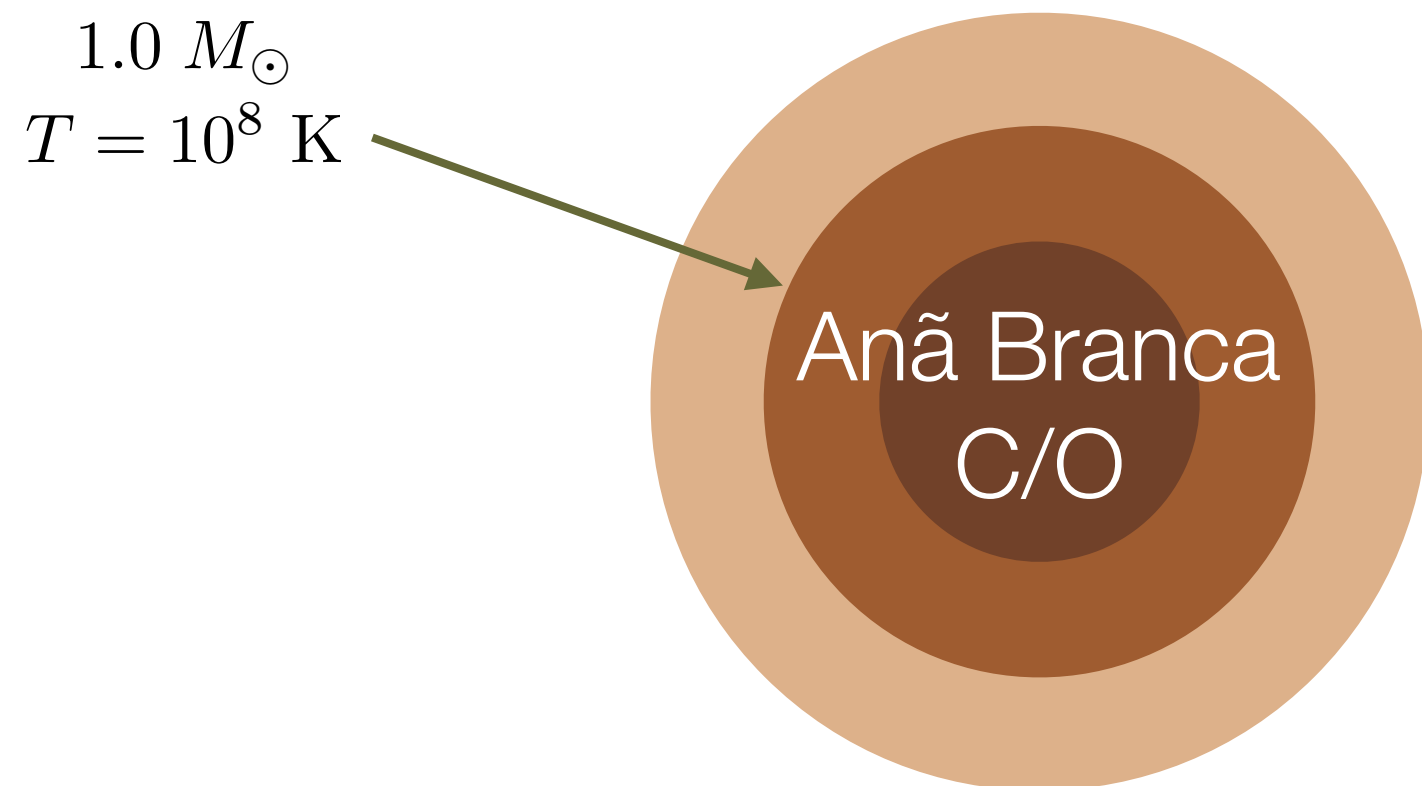
Abundância e Energia Liberada (IC1)

| τ (ms) | ${}^4\text{He}$ (M_\odot) | ${}^{12}\text{C}$ (M_\odot) | ${}^{16}\text{O}$ (M_\odot) | ${}^{20}\text{Ne}$ (M_\odot) | ${}^{24}\text{Mg}$ (M_\odot) | $[{}^{28}\text{Si}]$ (M_\odot) | $[{}^{56}\text{Ni}]$ (M_\odot) |
|-------------|-------------------------------|---------------------------------|---------------------------------|----------------------------------|----------------------------------|------------------------------------|------------------------------------|
| 0 | 0.001 | 0.250 | 0.250 | 10^{-5} | 10^{-5} | 0.233 | 0.266 |
| 5 | 10^{-4} | 0.250 | 0.253 | 10^{-6} | 10^{-5} | 0.286 | 0.211 |
| 10 | 10^{-5} | 0.250 | 0.254 | 10^{-6} | 10^{-5} | 0.307 | 0.189 |
| 25 | 10^{-10} | 0.250 | 0.266 | 10^{-6} | 10^{-4} | 0.337 | 0.147 |
| 50 | 10^{-10} | 0.250 | 0.300 | 10^{-6} | 0.015 | 0.359 | 0.076 |
| 100 | 10^{-11} | 0.250 | 0.353 | 10^{-6} | 0.054 | 0.318 | 0.025 |
| 200 | 10^{-12} | 0.250 | 0.424 | 10^{-6} | 0.099 | 0.219 | 0.008 |
| 400 | 10^{-20} | 0.250 | 0.503 | 10^{-6} | 0.150 | 0.095 | 0.002 |

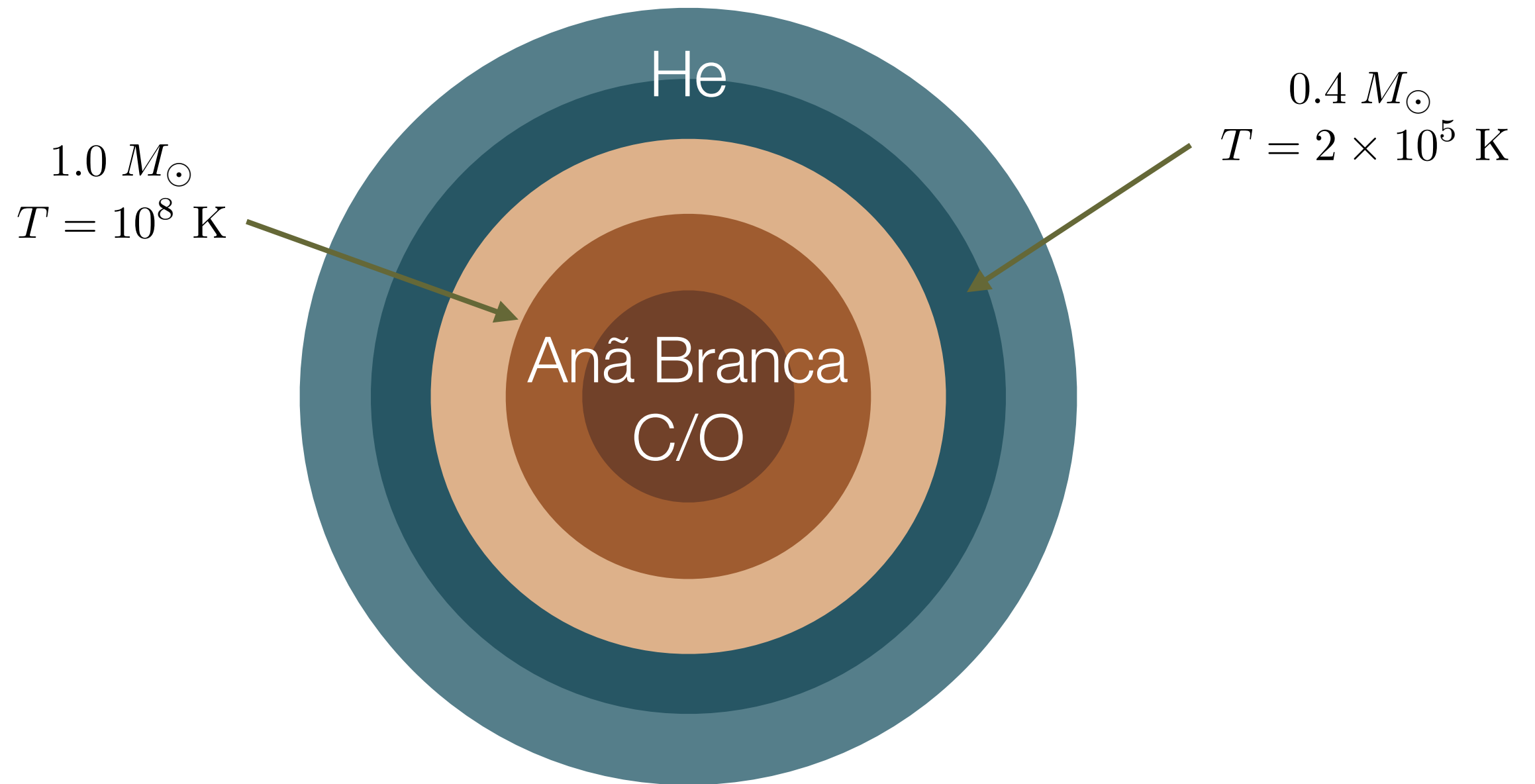
| τ (ms) | Q_n (10^{51} erg) |
|-------------|------------------------|
| 0 | 0.684 |
| 5 | 0.665 |
| 10 | 0.657 |
| 25 | 0.631 |
| 50 | 0.571 |
| 100 | 0.491 |
| 200 | 0.405 |
| 400 | 0.312 |



Condição Inicial (IC2)

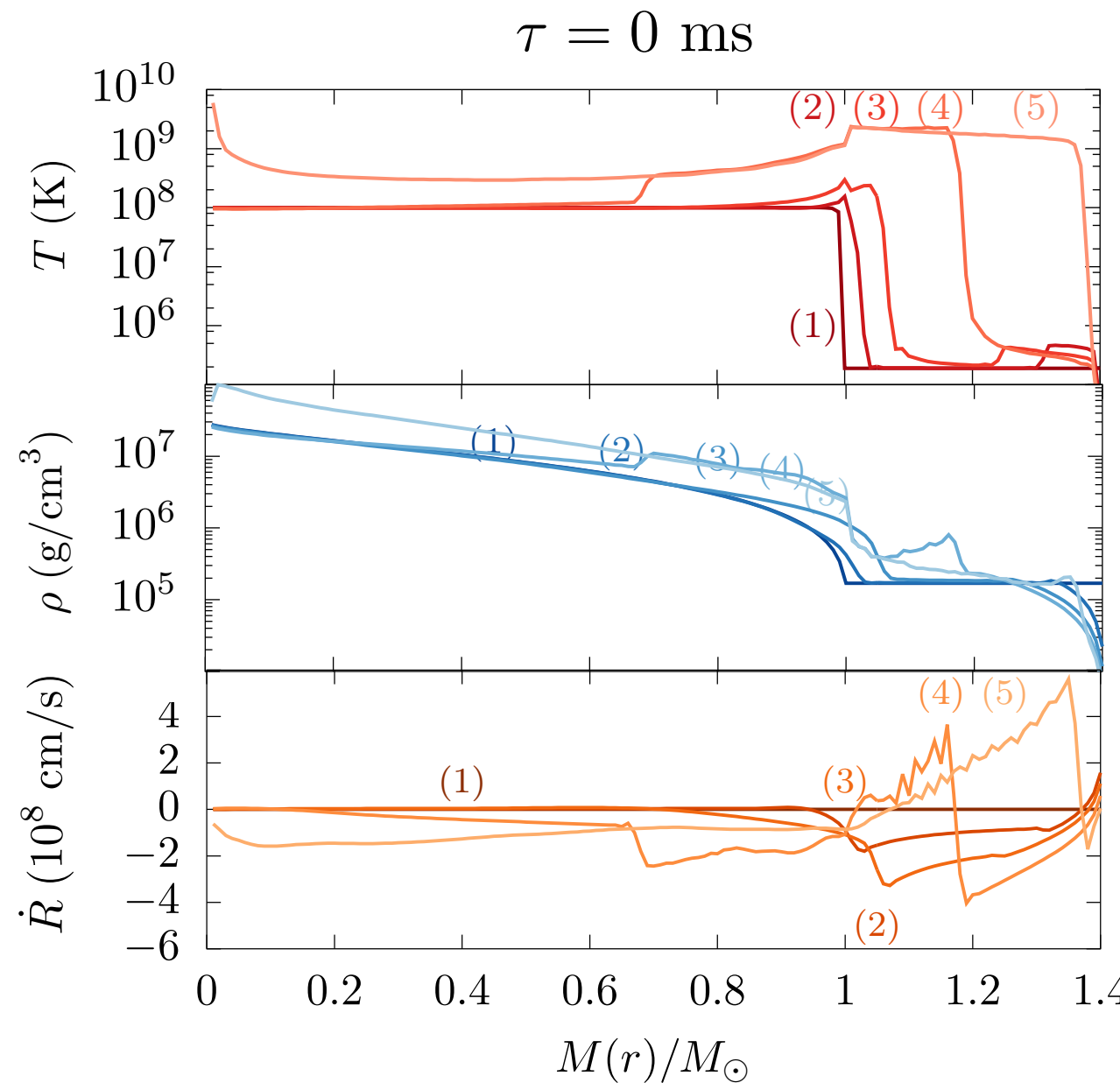


Condição Inicial (IC2)



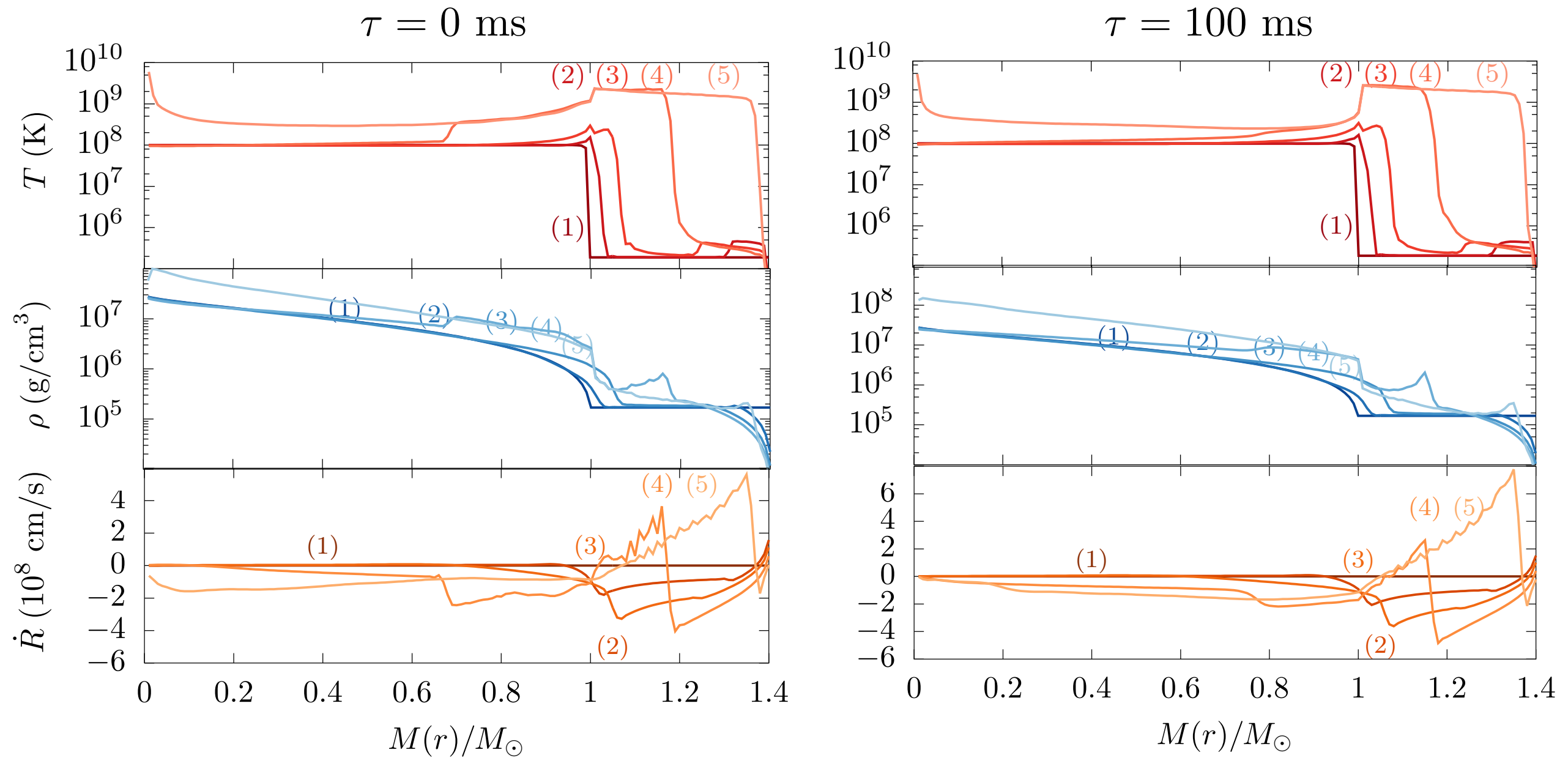
Perfis de temperatura e densidade (IC2)

Perfis de temperatura e densidade (IC2)



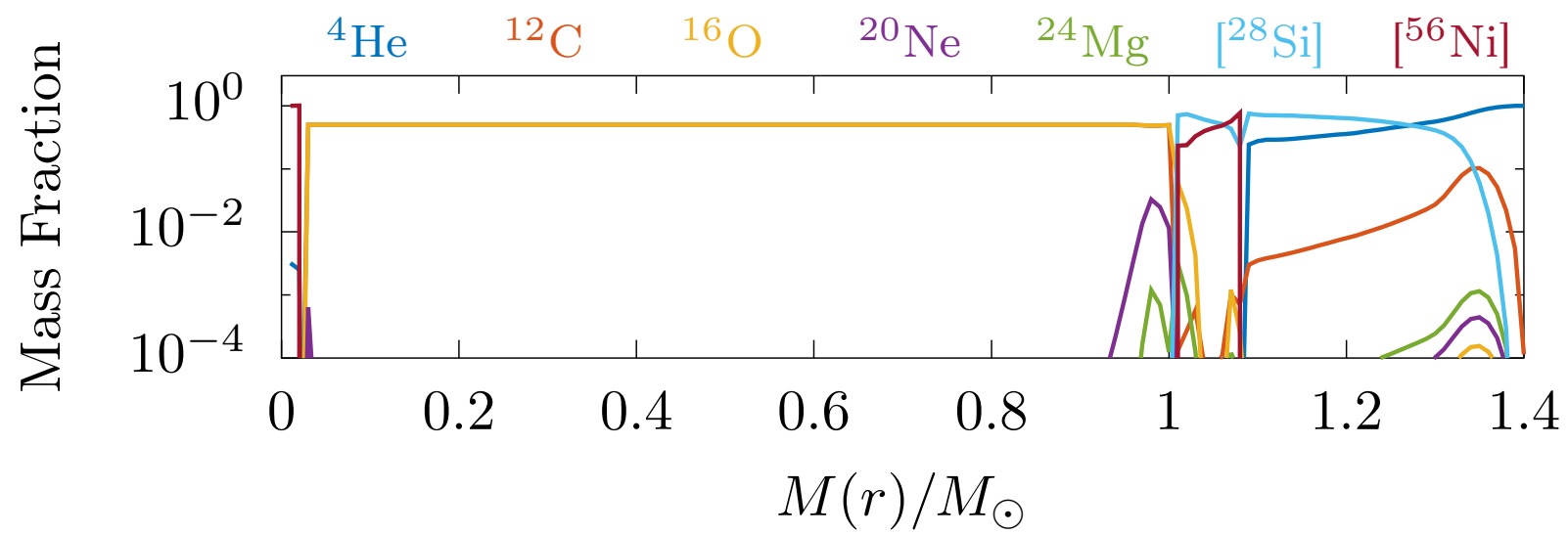
(1) $t = 0 \text{ s}$, (2) $t = 0.473 \text{ s}$, (3) $t = 0.981 \text{ s}$, (4) $t = 1.509 \text{ s}$, (5) $t = 1.991 \text{ s}$.

Perfis de temperatura e densidade (IC2)



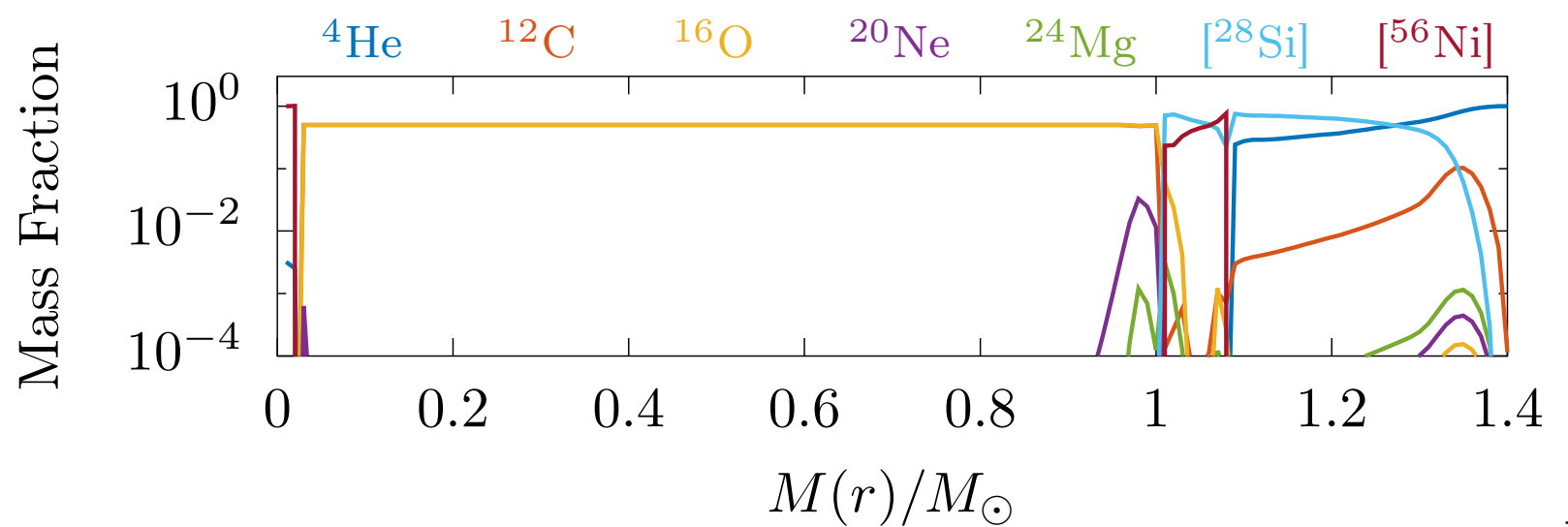
(1) $t = 0 \text{ s}$, (2) $t = 0.473 \text{ s}$, (3) $t = 0.981 \text{ s}$, (4) $t = 1.509 \text{ s}$, (5) $t = 1.991 \text{ s}$.

Abundância e Energia Liberada (IC2)



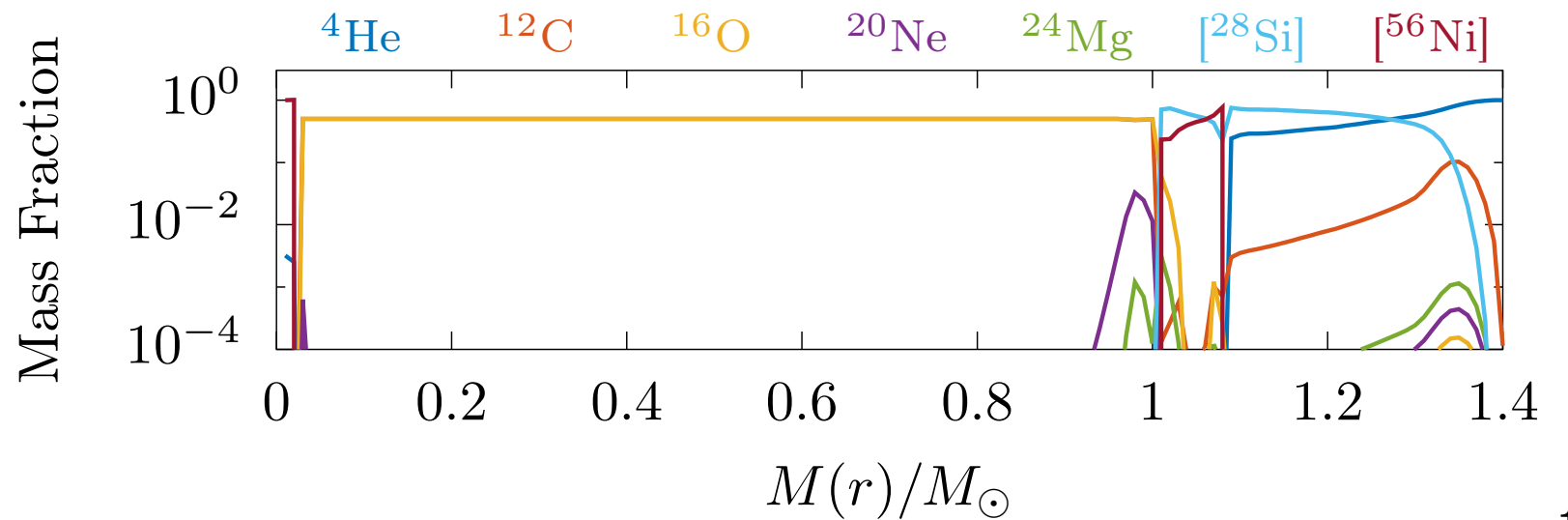
Abundância e Energia Liberada (IC2)

| τ (ms) | ${}^4\text{He}$ (M_\odot) | ${}^{12}\text{C}$ (M_\odot) | ${}^{16}\text{O}$ (M_\odot) | ${}^{20}\text{Ne}$ (M_\odot) | ${}^{24}\text{Mg}$ (M_\odot) | $[{}^{28}\text{Si}]$ (M_\odot) | $[{}^{56}\text{Ni}]$ (M_\odot) |
|-------------|-------------------------------|---------------------------------|---------------------------------|----------------------------------|----------------------------------|------------------------------------|------------------------------------|
| 0 | | | | | | | |
| 5 | 0.166 | 0.497 | 0.490 | 0.001 | 10^{-4} | 0.191 | 0.055 |
| 10 | 0.163 | 0.497 | 0.491 | 10^{-4} | 10^{-4} | 0.208 | 0.041 |
| 25 | 0.150 | 0.496 | 0.491 | 10^{-5} | 0.001 | 0.236 | 0.026 |
| 50 | 0.126 | 0.494 | 0.492 | 10^{-5} | 0.003 | 0.264 | 0.021 |
| 100 | 0.082 | 0.494 | 0.495 | 10^{-4} | 0.011 | 0.298 | 0.020 |
| 200 | 0.061 | 0.505 | 0.505 | 0.002 | 0.035 | 0.282 | 0.010 |
| 300 | 0.055 | 0.513 | 0.507 | 0.004 | 0.048 | 0.263 | 0.010 |
| 500 | 0.052 | 0.523 | 0.509 | 0.007 | 0.060 | 0.239 | 0.010 |



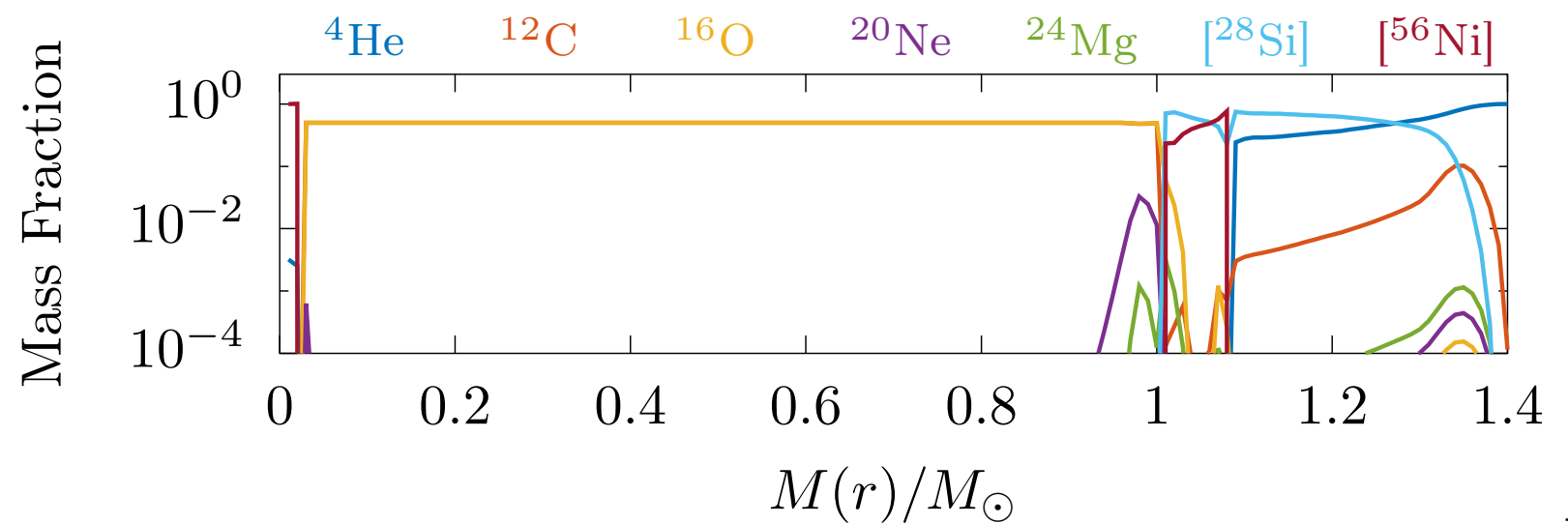
Abundância e Energia Liberada (IC2)

| τ (ms) | ${}^4\text{He}$ (M_\odot) | ${}^{12}\text{C}$ (M_\odot) | ${}^{16}\text{O}$ (M_\odot) | ${}^{20}\text{Ne}$ (M_\odot) | ${}^{24}\text{Mg}$ (M_\odot) | $[{}^{28}\text{Si}]$ (M_\odot) | $[{}^{56}\text{Ni}]$ (M_\odot) |
|-------------|-------------------------------|---------------------------------|---------------------------------|----------------------------------|----------------------------------|------------------------------------|------------------------------------|
| 0 | | | | | | | |
| 5 | 0.166 | 0.497 | 0.490 | 0.001 | 10^{-4} | 0.191 | 0.055 |
| 10 | 0.163 | 0.497 | 0.491 | 10^{-4} | 10^{-4} | 0.208 | 0.041 |
| 25 | 0.150 | 0.496 | 0.491 | 10^{-5} | 0.001 | 0.236 | 0.026 |
| 50 | 0.126 | 0.494 | 0.492 | 10^{-5} | 0.003 | 0.264 | 0.021 |
| 100 | 0.082 | 0.494 | 0.495 | 10^{-4} | 0.011 | 0.298 | 0.020 |
| 200 | 0.061 | 0.505 | 0.505 | 0.002 | 0.035 | 0.282 | 0.010 |
| 300 | 0.055 | 0.513 | 0.507 | 0.004 | 0.048 | 0.263 | 0.010 |
| 500 | 0.052 | 0.523 | 0.509 | 0.007 | 0.060 | 0.239 | 0.010 |



Abundância e Energia Liberada (IC2)

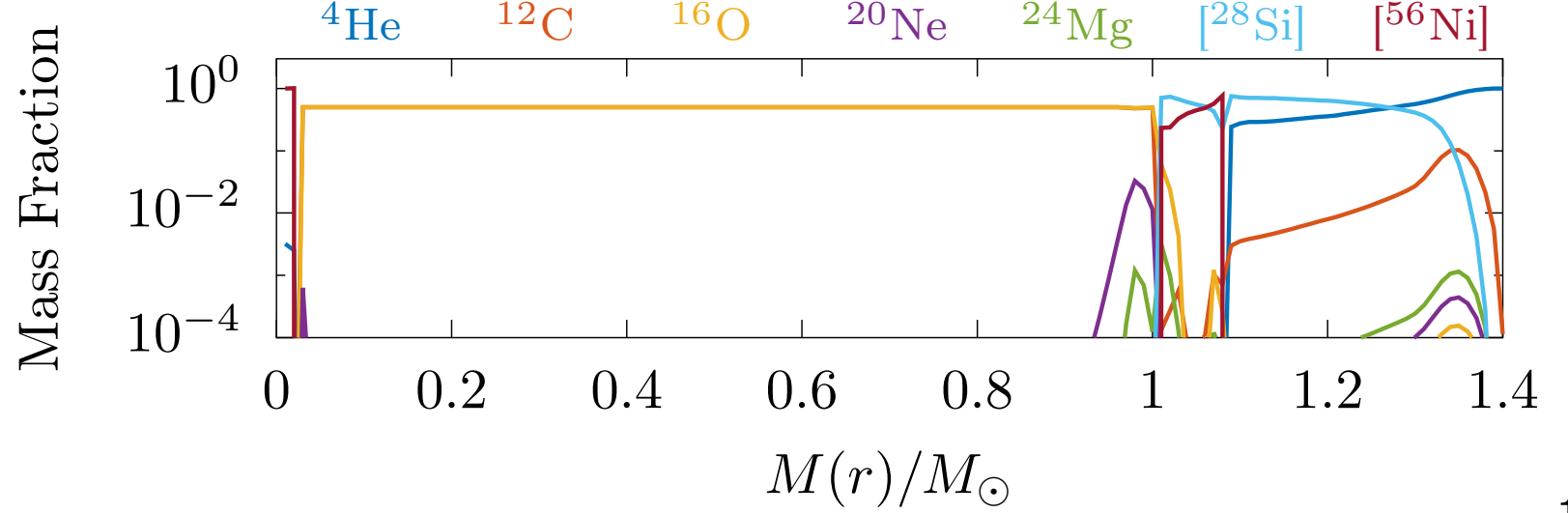
| τ (ms) | ${}^4\text{He}$ (M_\odot) | ${}^{12}\text{C}$ (M_\odot) | ${}^{16}\text{O}$ (M_\odot) | ${}^{20}\text{Ne}$ (M_\odot) | ${}^{24}\text{Mg}$ (M_\odot) | $[{}^{28}\text{Si}]$ (M_\odot) | $[{}^{56}\text{Ni}]$ (M_\odot) |
|-------------|-------------------------------|---------------------------------|---------------------------------|----------------------------------|----------------------------------|------------------------------------|------------------------------------|
| 0 | | | | | | | |
| 5 | 0.166 | 0.497 | 0.490 | 0.001 | 10^{-4} | 0.191 | 0.055 |
| 10 | 0.163 | 0.497 | 0.491 | 10^{-4} | 10^{-4} | 0.208 | 0.041 |
| 25 | 0.150 | 0.496 | 0.491 | 10^{-5} | 0.001 | 0.236 | 0.026 |
| 50 | 0.126 | 0.494 | 0.492 | 10^{-5} | 0.003 | 0.264 | 0.021 |
| 100 | 0.082 | 0.494 | 0.495 | 10^{-4} | 0.011 | 0.298 | 0.020 |
| 200 | 0.061 | 0.505 | 0.505 | 0.002 | 0.035 | 0.282 | 0.010 |
| 300 | 0.055 | 0.513 | 0.507 | 0.004 | 0.048 | 0.263 | 0.010 |
| 500 | 0.052 | 0.523 | 0.509 | 0.007 | 0.060 | 0.239 | 0.010 |



Abundância e Energia Liberada (IC2)

| τ (ms) | ${}^4\text{He}$ (M_\odot) | ${}^{12}\text{C}$ (M_\odot) | ${}^{16}\text{O}$ (M_\odot) | ${}^{20}\text{Ne}$ (M_\odot) | ${}^{24}\text{Mg}$ (M_\odot) | $[{}^{28}\text{Si}]$ (M_\odot) | $[{}^{56}\text{Ni}]$ (M_\odot) |
|-------------|-------------------------------|---------------------------------|---------------------------------|----------------------------------|----------------------------------|------------------------------------|------------------------------------|
| 0 | | | | | | | |
| 5 | 0.166 | 0.497 | 0.490 | 0.001 | 10^{-4} | 0.191 | 0.055 |
| 10 | 0.163 | 0.497 | 0.491 | 10^{-4} | 10^{-4} | 0.208 | 0.041 |
| 25 | 0.150 | 0.496 | 0.491 | 10^{-5} | 0.001 | 0.236 | 0.026 |
| 50 | 0.126 | 0.494 | 0.492 | 10^{-5} | 0.003 | 0.264 | 0.021 |
| 100 | 0.082 | 0.494 | 0.495 | 10^{-4} | 0.011 | 0.298 | 0.020 |
| 200 | 0.061 | 0.505 | 0.505 | 0.002 | 0.035 | 0.282 | 0.010 |
| 300 | 0.055 | 0.513 | 0.507 | 0.004 | 0.048 | 0.263 | 0.010 |
| 500 | 0.052 | 0.523 | 0.509 | 0.007 | 0.060 | 0.239 | 0.010 |

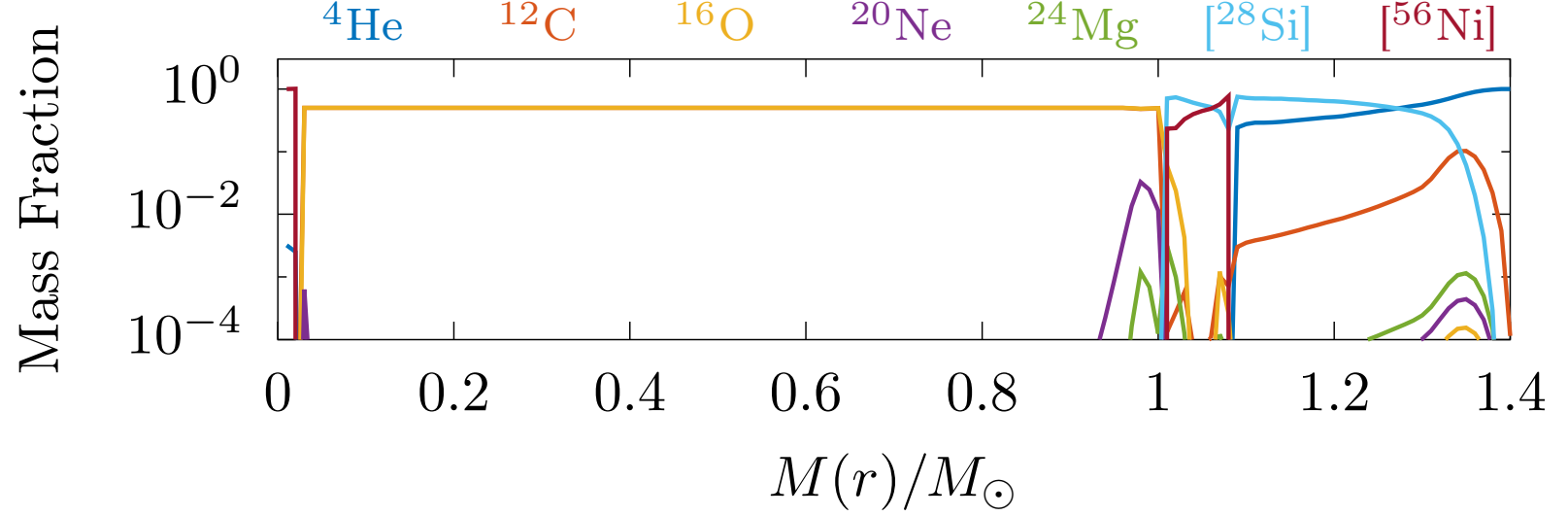
| τ (ms) | Q_n (10^{51} erg) |
|-------------|------------------------|
| 0 | |
| 5 | 0.651 |
| 10 | 0.653 |
| 25 | 0.683 |
| 50 | 0.745 |
| 100 | 0.854 |
| 200 | 0.871 |
| 300 | 0.866 |
| 500 | 0.851 |



Abundância e Energia Liberada (IC2)

| τ (ms) | ${}^4\text{He}$ (M_\odot) | ${}^{12}\text{C}$ (M_\odot) | ${}^{16}\text{O}$ (M_\odot) | ${}^{20}\text{Ne}$ (M_\odot) | ${}^{24}\text{Mg}$ (M_\odot) | $[{}^{28}\text{Si}]$ (M_\odot) | $[{}^{56}\text{Ni}]$ (M_\odot) |
|-------------|-------------------------------|---------------------------------|---------------------------------|----------------------------------|----------------------------------|------------------------------------|------------------------------------|
| 0 | | | | | | | |
| 5 | 0.166 | 0.497 | 0.490 | 0.001 | 10^{-4} | 0.191 | 0.055 |
| 10 | 0.163 | 0.497 | 0.491 | 10^{-4} | 10^{-4} | 0.208 | 0.041 |
| 25 | 0.150 | 0.496 | 0.491 | 10^{-5} | 0.001 | 0.236 | 0.026 |
| 50 | 0.126 | 0.494 | 0.492 | 10^{-5} | 0.003 | 0.264 | 0.021 |
| 100 | 0.082 | 0.494 | 0.495 | 10^{-4} | 0.011 | 0.298 | 0.020 |
| 200 | 0.061 | 0.505 | 0.505 | 0.002 | 0.035 | 0.282 | 0.010 |
| 300 | 0.055 | 0.513 | 0.507 | 0.004 | 0.048 | 0.263 | 0.010 |
| 500 | 0.052 | 0.523 | 0.509 | 0.007 | 0.060 | 0.239 | 0.010 |

| τ (ms) | Q_n (10^{51} erg) |
|-------------|------------------------|
| 0 | |
| 5 | 0.651 |
| 10 | 0.653 |
| 25 | 0.683 |
| 50 | 0.745 |
| 100 | 0.854 |
| 200 | 0.871 |
| 300 | 0.866 |
| 500 | 0.851 |



Conclusões e Perspectivas

- Termalização atrasada parece ser **inerente aos cálculos numéricos de hidrodinâmica**;

- Termalização atrasada parece ser **inerente aos cálculos numéricos de hidrodinâmica**;
- Características observacionais **dependem fortemente** do valor de τ .

- Termalização atrasada parece ser **inerente aos cálculos numéricos de hidrodinâmica**;
- Características observacionais **dependem fortemente** do valor de τ .
- Possível explicação da **transição deflagração-detonação**!?

- Termalização atrasada parece ser **inerente aos cálculos numéricos de hidrodinâmica**;
- Características observacionais **dependem fortemente** do valor de τ .
- Possível explicação da **transição deflagração-detonação?**
- Qual a **condição inicial** advinda de um sistema single degenerate?

- Termalização atrasada parece ser **inerente aos cálculos numéricos de hidrodinâmica**;
- Características observacionais **dependem fortemente** do valor de τ .
- Possível explicação da **transição deflagração-detonação**!?
- Qual a **condição inicial** advinda de um sistema single degenerate?
- Qual o **valor físico** de τ ?



Obrigado!